

- | | | |
|---|---|-----|
| 上 | 1 | 数学 |
| | 2 | 力学 |
| | 3 | 电磁学 |
| 下 | 4 | 热学 |
| | 5 | 光学 |
| | 6 | 原子 |
| | 7 | 相对论 |
| | 8 | 总结 |

如有遗失, 烦请联系:

☐/☎

不胜感激!

△ 热-相关

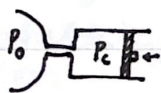
> 混合气体的过程：状态方程不影响，内能要分开。

绝热注意一下，不是分组分各自绝热，不然温度会不同，要传热的，都化归到 $dQ=0$ 上：
(道尔顿分压定律)

$$\gamma_1 C_{v1} dT + \gamma_2 C_{v2} dT + p dv = 0 \Rightarrow \frac{dp}{p} + \frac{\gamma_1 C_{p1} + \gamma_2 C_{p2}}{\gamma_1 C_{v1} + \gamma_2 C_{v2}} \frac{dv}{v} = 0$$

> 热容量转变气体的过程：在转变温度(如 T_0 处 $\frac{5}{2}R \rightarrow \frac{7}{2}R$)需要吸收一定能量补充内能，相应就存在一些过程，如 $\Delta U = RT_0$ ，等压膨胀时会出次等压等温阶段，猛一吸热；绝热压缩时会出次绝热等温阶段，内压 $p \uparrow$ 做功给了 ΔU 。(亦等体)

> 充放气：经典理解公式



★ 压功存在！ $p_c V_c = W$ 。

(p_c 一直压到底，只是进入部分交换，用 U 守恒量

▷ 求和积分方法：

$$W = \Delta U_{\text{外+内}} \quad (\text{如果绝热})$$

哪些是通过微元过程缓慢变的量，搞出

差值 $p_{in} - p_i$ ，用 d 表示。

哪些是属于微元过程里的量，用 d 表示的

微元量代换掉。

> 相变：还有一种是“化学反应”，它应该会让你告诉你反应物(生成物)总摩尔数远小于工作气体，只需要考虑放热(反应热)给工作气体(应该瞬时升温即可)。

★ 相变潜热 L ：单位是 J/kg ，必须等温等压下衡量 $dQ = mL$ ，并不是 m 气和 m 液在 T 下

$$\text{之间的 } \Delta U \text{，应为 } \Delta U = \Delta M \left(\frac{RT}{M} - L \right) \quad (L = u_{\text{气}} - u_{\text{液}} + p_s V)$$

具体问题核心其实还是能量守恒。 $W = \Delta U$ (如果绝热) → 若变温了，则还需 $\frac{dp_s}{dT} = \frac{L_m}{TV}$
 ΔU 分为非相变部分 ΔU_1 和相变部分 ΔU_2 考虑，其中 ΔU_2 即 ΔM 的，上面的式子。

饱和蒸气压难度不大，就是分压到达 p_s 就维持 p_s 往下液化，不过注意，在细连

通时 两边气压相等即要 $p_{\text{左}} = p_{\text{右}}$ ，也要 $p_{\text{水}} = p_{\text{水}}$ ，即在左侧器里 $p_{\text{水}}$ 也为 $p_s(100^\circ\text{C})$ 。

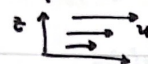
> 热-Tip:

• 双缸式的，多半绝不变且绝热，注意应用总体的能量守恒(略去互相做功) (把其中难列的一室绕开)

• 流管(多孔塞/加热网)其实也是一个热-，只不过 $\Delta E + \Delta U = Q + W$ ，多孔塞 $Q=0$ ，并且有

• 摩探活塞(左右恒- dp) 注意摩探力做功 $dp \cdot \Delta V$ 视用 补能! (解 $p-v$ 关系再放!) $W = p \Delta V - p_s \Delta V$ 可以合进陪。
计算双缸等作功 = 各自压缩作功 + 摩探力功。

▫ 输运过程

i) 黏滞 动量流密度 $\frac{dP}{dt ds} = -\eta \frac{du}{dz}$ ($\tau = -\eta \frac{du}{dz} \cdot ds$)


ii) 热传导 热流密度 $\frac{dQ}{dt ds} = -k \frac{dT}{dz}$
 Fourier

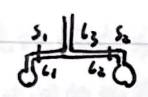
▷ iii) 扩散中只盯自己分子的，别的气体不影响。

若三维，则改为梯度 $\nabla n, \nabla T \dots$

iii) 扩散 粒子流密度 $\frac{dn}{dt ds} = -D \frac{dn}{dz}$

有些题可能搞比如柱筒，S变化， $2\pi r l$ ，这就不线性了

题目描述常见“形成稳态... (传导扩散)”则即有固定的 n, Q 流，即 $\frac{dn}{dz}$ 为线性分布。

举例： S_1, S_2 装相同水， $l_1 < l_2$ 开 S_1 闭 S_2 过了 T_1 蒸发完
 温度恒定，上大气干燥。开 S_1 开 S_2 过了 T_2 全蒸发完
 开口大于平均自由程
 用 l_1, l_2, l_3 表示 $\frac{T_2}{T_1} = \frac{l_2 + 2l_3}{l_1 + l_3}$ 提示：设 $\frac{l_0}{n} \rightarrow$ 饱和水汽处

附：物理量 q 的流：

$J_q = -\frac{1}{3} \frac{d\langle nq \rangle}{dz} \bar{v} \lambda \cdot \Delta S$

$\bar{v} \lambda$ ($\frac{1}{3}$ 来自于 $\frac{1}{6}$ 方向平均和微分差 2λ)

i) $\eta = \frac{1}{3} \rho \bar{v} \lambda$ 当然，还有

ii) $k = \frac{1}{3} \rho \bar{v} \lambda C_v$ $\bar{v} = \sqrt{\frac{3kT}{\pi m}}$

iii) $D = \frac{1}{3} \bar{v} \lambda$ $\lambda = \frac{1}{\sqrt{2} n_0}$ (单-分子)

▫ 范德瓦耳斯 (光子气体见“热辐射”)

状态： $(p + \frac{a}{V^2})(V - b) = RT$ (若多摩尔，则 V 应改为 V_m ，即 $(p + \frac{a}{V_m^2})(V_m - b) = \nu RT$ ，后类同)

内能： $U = C_v T - \frac{a}{V} + U_0$ \leftarrow 能物态方程 $(\frac{\partial U}{\partial V})_T = -p + T(\frac{\partial p}{\partial T})_V$

做功仍为 $p dV$ 。过程(多方)： $(p + \frac{a}{V^2})(V - b)^\gamma = \text{const}$ (微小卡诺可推导或麦氏关系)

其热容与理想气体一致， $C = C_v + \frac{R}{1-\gamma}$ 由 $dU = (\frac{\partial U}{\partial V})_T dV + C_v dT$ 即得。

(有时候还是微分式， $\gamma = C_v(T)$ 来一个)

- 等温过程，内能仍然会变，仍然有 Q 传递。
 - 绝热过程的做功建议 = ΔU 算。
 - 多方过程的吸放热建议 = $C \Delta T$ 算。
 - 卡诺定理仍然成立， $1 - \frac{T_c}{T_h}$ 。
- ★ 包括光子气也是 $(C_v T)^\gamma$
 异工作物质一定注意 $U(V, T)$
 每次计算最好都审查一遍热-
 $\Delta U? \Delta Q? W?$

▽ 微小卡诺

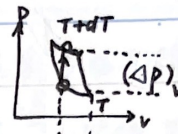
i 能物态方程 $(\frac{\partial U}{\partial V})_T = -p + T(\frac{\partial p}{\partial T})_V$

$\frac{(dT)_V}{T} = \frac{dw}{dQ} = \frac{(dv)_T dp}{(\frac{\partial U}{\partial V})_T (dv)_T + p(dv)_T}$ 即得.

$(\frac{\partial H}{\partial p})_T = V - T(\frac{\partial V}{\partial T})_p$

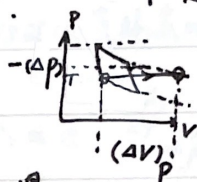
$(dT)_p = \frac{dw}{dQ} = \frac{-(dv)_p dp}{(\frac{\partial H}{\partial p})_T (dp)_T - V(dp)_T}$ 即得.

视为某点 p, v, T 突然偏动了一个小卡诺回来.



△这个很关键!

我考察的 dQ 是沿 T 不变走的.



△这个和上面的 (Δp)_v 一样都是循环变化量.

(注意两组 Δ 的位点不一样, 其中 (Δv)_p, (Δp)_v 的 Δ 与 (ΔT)_v, (ΔT)_p 一致)

ii 克拉珀龙方程

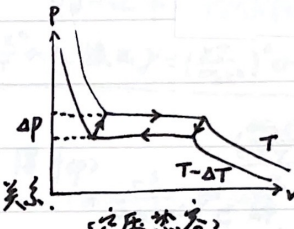
中间的物态变化是一个等温等压过程.

$\gamma = \frac{dT}{T} = \frac{dp (v_g - v_l)}{L}$ (v 为摩尔体积)

即得 $\frac{dp}{dT} = \frac{L}{T(v_g - v_l)}$ 饱和蒸气压 p(T) 关系.

若相变潜热不视为不变: $L = H_g(T) - H_l(T) = (C_{gp} - C_{lp})T + H_g(0) - H_l(0)$

得 $\frac{dp}{dT} = \frac{L_0 + T(C_{gp} - C_{lp})}{T(v_g - v_l)} \Rightarrow \frac{dp}{p} = \frac{dT (L_0 + (C_{gp} - C_{lp})T)}{RT^2} \Rightarrow p \sim T^{\frac{L_0}{RT} + 1}$



(ΔT 可以这么视为)

ok 时是化热.

附: 相变有个“杠杆定则” $\frac{v_l}{y_l} = \frac{v_g}{y_g}$. 考试时还不如直接列质量和体积的等式, 照样快.

▽ 开放系统的理想气体

特征: 描述用强度量 p, T 作为 T 的函数, 以气团为研究对象, 处在变换和流动中.

① 重力场中的大气 ← 静力平衡

$\nabla p + \vec{f} = 0$ 即 $\frac{dp}{dz} - \rho g = 0$. $\rho = \frac{pM}{RT}$

$p_{(z)} = p_0 \cdot (\frac{T_{(z)}}{T_0})^{\frac{Mg}{gR}}$

温度若认为不变则是玻尔兹曼分布

温度若认为 $T_{(z)} = T_0 - \alpha z$

临界高度 z_c 有 $dV \cdot \rho g z + U_{(z)}$

若微扰 (绝热浮动) $p_{(z)} = p_0 \cdot (\frac{T_{(z)}}{T_0})^{\frac{\gamma}{\gamma-1}}$ (或称绝热大气模型) $= U_{(z)} + p_0 dz - p_g dz$

则 $\alpha < \frac{\gamma-1}{\gamma} \frac{Mg}{R} = \frac{Mg}{C_p}$ 时, 扰动气团 T 低于外界 T.

$\Rightarrow dV \cdot \rho g z = dV \cdot C_p T_0 - dV \cdot C_p T_z$

则 $T_z = T_0 - \frac{Mg}{C_p} z$

② 伯努利方程 ← 能量守恒

浮力小, 能稳定不对流. (均指单位质量“比”)

$u + p + \frac{1}{2} v^2 + \varphi = \text{const}$

③ 欧拉方程 ← 动量守恒

$-\nabla p \cdot \vec{A} t = m \vec{v}_2 - m \vec{v}_1$

$-\int \frac{dp}{dx} \cdot A dx = (pVA) \cdot (v_2 - v_1)$

内能 $p_{(x)} v_{(x)} p_{(x)}$
压功 $\frac{1}{\mu} \rho T pVA = \text{const}$ 质量
势能 $\rho = \frac{pM}{RT}$ 物态

流管方程组 *

对上求导 $-\frac{dp}{dx} = \rho v \frac{dv}{dx}$ (实为 -f)

$\frac{dp}{dx} = -\rho v \frac{dv}{dx}$

△ MB分布 / 分子动理论 (一)

一些数学结论如 "n 维球", "高维麦", 麦克斯韦分布律推导见 "高维麦".

▷ MB分布都是粒子数密度分布律, 是 $n \propto e^{-\frac{\epsilon}{kT}}$. 比如三维球壳势能, $\frac{1}{2}dr^2$, 有 $n = n_0 e^{-\frac{dr^2}{2kT}}$. 是 n 而非 $\frac{dn}{dn}$. (在三维球壳下) 可以直接类比得到 $\sqrt{r} = \sqrt{\frac{8kT}{\pi\alpha}}$, \sqrt{r} 等.

> 相对论性 (麦非麦)

粒子: 针对动量空间进行. $f(p) \propto e^{-\frac{\epsilon(p)}{kT}} d^3p$. $f(p) \propto p^2 e^{-\frac{\epsilon(p)}{kT}} dp$

由能-动量关系将 p 通过 $\frac{dp}{d\beta} = \frac{m_0 c^2}{(1-\beta^2)^{3/2}}$ 化为 $f(\beta)$ 即 $f(v)$

$\Rightarrow f(\beta) \propto \frac{\beta^2}{(1-\beta^2)^{3/2}} e^{-\frac{m_0 c^2}{kT} (\frac{1}{\beta} - 1)}$ 归一化常数再由之积得

极端相对论粒子时 $A = \int_0^1 \dots d\beta$ $\xrightarrow{\frac{m_0 c^2}{kT} \ll 1, \text{ 换元 } \gamma = (\frac{kT}{m_0 c^2})^2 (1-\beta^2)}$ $\frac{1}{(\frac{kT}{m_0 c^2})^3 \int_0^\infty \frac{e^{-\gamma^{-1/2}}}{2\gamma^{3/2}} d\gamma}$

光子时 $f(p) \propto p^2 e^{-\frac{pc}{kT}}$ 直接积得 A , 得 $f(p) = \frac{c^3}{2k^3 T^3} p^2 e^{-\frac{pc}{kT}}$ $\leftarrow \frac{(m_0 c^2)^3}{k^3 T^3} \int_0^\infty \dots d\gamma$

> 湍流: 回顾: 湍流粒子一是 \vec{v} 速度同向, 二是粒子数受到了 v 的加权. (准泊松流/ 为 v_x)
即 $F'_{i,v} \propto v F_{i,v}$ (应再来以一个 $\int \cos\theta$ 积分的因子)

则归一化有 $F'_{i,v} = \frac{v}{\bar{v}} F_{i,v} = F_{i,v}^{湍流}$

湍流的影响: 一是 $\bar{\epsilon} = 2kT$, 带走能量导致容器内温度降低. $\frac{dU}{dt} = -\Gamma \bar{\epsilon} \cdot S$

二是 粒子流带有定向动量 $\Gamma m \bar{v}_x \cdot S$, 会引起容器的反冲.

$\bar{\epsilon}$, 以及不忘记 n 在变化, 注意积分时变量.

四 习题决: $\begin{matrix} \dots \\ \vdots \\ m \\ \vdots \\ M, v \end{matrix}$ 太空中, 初始 N_0, T_0 静止开始. 分子质量 m , 容器质量 $M \gg N_0 m$.
 T_0, N_0 小孔 S 较小, 容器不作转动. 求 (单原子)

(1) t 时刻气体温度 T (2) t 时刻容器速度大小 v

□ (1) $-2kT dN = d(\frac{3}{2}kNT)$
 $dN = -\Gamma S dt \Rightarrow T = T_0 (1 + \frac{\Gamma}{6V} \sqrt{\frac{kT_0}{2\pi m}} t)^{-2}$

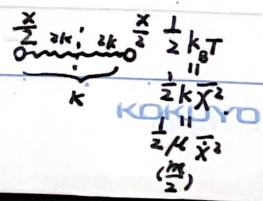
(2) ▷ 相对容器近似对地. $dp = -m \bar{v}_x \Gamma S dt$

$\Rightarrow u = \frac{P}{M} = \frac{6N_0}{7M} \sqrt{\frac{\pi m k T_0}{2}} [1 - (1 + \frac{\Gamma}{6V} \sqrt{\frac{kT_0}{2\pi m}} t)^{-2}]$

▷ 其中 \bar{v}_x 需计算. $\bar{v}_y = \bar{v}_z = \sqrt{\frac{2kT}{\pi m}}$. 而 \bar{v}_x 受到 v_x 加权. $\propto v_x e^{-\frac{m v_x^2}{2kT}}$

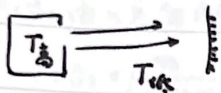
(定向湍流速率分布) 归一化定 $A = \frac{m}{kT}$. 得 $\bar{v}_x = \sqrt{\frac{\pi kT}{2m}}$.

> 能均分定理: 摆角星: 振功自由度 $\frac{1}{2}kT = \text{势} = \text{动}$, 为两原子共有!



△ MB分布 / 分子动理论 (2)

> 相对速率: 在两种气体均是麦克斯韦分布下, 通过系综定理, 重积为 $\gg \bar{u} = \sqrt{\bar{v}_1^2 + \bar{v}_2^2}$



还有一种是泻流出来相对空气, 由于分布不同, 近似方法也不同.

$$\textcircled{1} \sqrt{v_1^2 + v_2^2} \quad \textcircled{2} v_1 \approx \text{定向} \quad \bar{u} = \int_0^\pi \sqrt{v_1^2 + v_2^2 - 2v_1 v_2 \cos\theta} \cdot \frac{2\pi \sin\theta}{4\pi} d\theta = \frac{(v_1 + v_2)^2 - (v_1 - v_2)^2}{6v_1 v_2}$$

相对速率分布: $f(u) = 4\pi u^2 \cdot \left(\frac{M}{2\pi kT}\right)^{\frac{3}{2}} e^{-\frac{Mu^2}{2kT}}$ 同形式的分布.

(“维集”数) 有一种常见的问法, “要求 99% 不与外边空气相碰...”

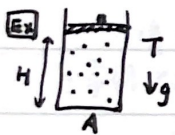
注意不推荐使用什么 $\int_0^{Ans} f(u) du$ 反解 99% 处的 u , 然后代入 $\bar{u} \cdot t \ll 1$, 是错误的!

t 跟 u 有关, 这导致不能单单关注 \bar{u} , 应该用

> 自由程分布: $N = N_0 e^{-\frac{x}{\lambda}}$ 指存留的概率, λ 则由 \bar{u}, n, D 确定.

求导之后 $\frac{1}{\lambda} e^{-\frac{x}{\lambda}}$ 即为概率分布.

> 玻尔兹曼分布: E_p 表达后代入即可, 但有时需注意, T 等量是否是变量? 最根本的就是劳伦兹微元的平衡.



m, N 个分子在竖直气缸里, 求 (1) 活塞固定, 热容 $C_v(T)$

温度 T , 单原子分子.

(2) 活塞 M_0 , 光滑上下移, 热容 $C_p(T)$

$$\gg \textcircled{1} C_v = \frac{5}{2} Nk - \left(\frac{mgh}{kT}\right) \cdot \frac{Nk e^{-\frac{mgh}{kT}}}{(e^{-\frac{mgh}{kT}} - 1)^2}$$

$$\textcircled{2} C_p = \frac{5}{2} Nk \quad (\text{存在 } dW = M_0 g dH)$$

▽ 高维麦克斯韦分布律

能均分 $\frac{1}{2}kT$ + 归一化 \Rightarrow 每方向上 $(\frac{m}{2\pi kT})^{\frac{1}{2}} e^{-\frac{mv_x^2}{2kT}}$ 注意: 这是矢量分布.
单方向速率分布须 $\times 2$.

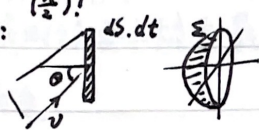
$F(\vec{v})$ 由 n 方向相乘.

$$F(\vec{v}) = \left(\frac{m}{2\pi kT}\right)^{\frac{n}{2}} e^{-\frac{m\vec{v}^2}{2kT}} \quad \text{可见 } n \text{ 维球}$$

> 速率分布 $F(v)$ 由 $F(\vec{v})$ 乘以 n 维球表面积 S_n .

$$F(v) = \frac{n\pi^{\frac{n}{2}}}{(2\pi)^{\frac{n}{2}}} v^{n-1} \cdot \left(\frac{m}{2\pi kT}\right)^{\frac{n}{2}} e^{-\frac{mv^2}{2kT}}$$

> 流流:



$$dN = \int_{\Sigma} n \cdot f(\vec{v}) dV \cdot v \cos\theta \cdot d\Omega v^{n-1}$$

高维立体角 $d\Omega = d\theta \sin\theta d\varphi \sin\theta d\alpha \sin\theta d\beta \dots$

积各角 $\int_0^{\frac{\pi}{2}} \dots$ 其余 $\alpha, \beta, \varphi \dots$ 皆 $\int_0^{2\pi} \dots$. 代入点积公式, 得 $\int \cos\theta d\Omega = \frac{(2\pi)^{\frac{n-1}{2}}}{(n-1)!!}$

再将 $f(\vec{v}) = \frac{F(v)}{S_n v^{n-1}}$ 代入. $N_{\text{流}} = \frac{(2\pi)^{\frac{n-1}{2}}}{S_n (n-1)!!} n \bar{v} = \frac{1}{2\pi} \frac{S_{n+1}}{S_n} n \bar{v}$.

② $n_{\text{流}} = \frac{1}{2} n \bar{v}_x$. 单方向 $\bar{v}_x = \sqrt{\frac{2kT}{\pi m}}$. 将之化为 \bar{v} 形式. \bar{v} 由 $F(v)$ 得 $= \frac{S_n}{S_{n+1}} \cdot \sqrt{\frac{2\pi kT}{m}}$
 (常用) 于是 $N_{\text{流}} = n \bar{v} \cdot \frac{1}{2\pi} \frac{S_{n+1}}{S_n}$

流流速率分布: $F'(v) = \frac{dN}{dv} = \frac{v}{\bar{v}} F(v)$ 理解: 流流就是速度加权 $F' \sim v \cdot F$

\bar{v} 积出.

$$F'(v) = \frac{2}{(n-1)!!} v^n \cdot \left(\frac{m}{2kT}\right)^{\frac{n+1}{2}} e^{-\frac{mv^2}{2kT}} = F_{(n+1)}(v)$$

n 维流流 \iff $n+1$ 维气体

附: 三 $\bar{v} = \sqrt{\frac{8kT}{\pi m}}$ $\sqrt{\bar{v}^2} = \sqrt{\frac{3kT}{m}}$ $v_p = \sqrt{\frac{2kT}{m}}$

n 维平均根 \iff $n+1$ 维最概然

(三流) $\bar{v}' = \sqrt{\frac{9\pi kT}{8m}}$ $\sqrt{\bar{v}'^2} = \sqrt{\frac{4kT}{m}}$ $v_p' = \sqrt{\frac{3kT}{m}}$
 ($S_4 = 2\pi^2$)

$$G_0(x) = \frac{1}{2} \sqrt{\frac{\pi}{\lambda}} \quad \text{及} \quad G_{(n)}(x) = \int_0^{\infty} x^n e^{-\lambda x^2} dx$$

$$G_{(1)}(x) = \frac{1}{2\lambda}$$

$$G_{(2)}(x) = \frac{1}{4} \sqrt{\frac{\pi}{\lambda}}$$

$$G_{(3)}(x) = \frac{1}{2\lambda^2}$$

$$G_{(4)}(x) = \frac{3}{8} \sqrt{\frac{\pi}{\lambda}}$$

$$G_{(n+2)}(x) = \frac{n+1}{2\lambda} G_{(n)}(x) \quad / \quad G_{(n)}(x) = \frac{n-1}{2\lambda} G_{(n-2)}(x)$$

$$G_{(n)}(x) = \frac{(n-1)!!}{2\lambda^{\frac{n+1}{2}}} \cdot 1 = G_{(n)}(x) S_{n+1} \left(\frac{1}{\pi}\right)^{\frac{n+1}{2}}$$

△ 熵

> 熵变计算: 熵是状态量, 所以多过程时, 总熵变可以直接看总的初末态, 不一定为可逆.

理想气体 $S = S_0 + C \ln T$ (热力学容 C)

理想气体 $\Delta S = \gamma R \ln \frac{V}{V_0} + \gamma C_V \ln \frac{T}{T_0} = -\gamma R \ln \frac{P}{P_0} + \gamma C_P \ln \frac{T}{T_0}$ (工作气体体积 / 分子视角 (T, P 分布))

$S = S_0 + \gamma R (\frac{1}{\gamma-1} \ln T + \ln V)$

注意 V 为单绝体积! 如混合 $N_1 V_1 + N_2 V_2 \rightarrow \frac{2\gamma}{\gamma+1} V$ 应代 $\frac{V_1+V_2}{2}$ (更多见下)

熵不变蕴含了绝热方程在里面. 题目给什么工作物, 依 S 的给留个心.

有时候要求熵变最大/最小, 就凭感觉“越不可逆越大”. 如 $\int_{0000}^{0000} T_{\text{low}} T_{\text{high}}$

> 过程构造:

- 单绝热 (若熵增则再绝热升温)
- 双各自绝热到达再卡诺机向外 (通常考虑对外 W)

这也是使之降/升温最多的办法. “能达到的最...温度” [分批]

即成为热源. $\frac{dQ_1}{dT_1} = -\frac{dQ_2}{dT_2} = \frac{C}{T_2} \Rightarrow t_1, t_2 = \text{const.}$ (绝后)

> 寻找平衡态:

$T = \frac{dE}{dS}$

①② $T_1 = T_2, \frac{dE_1}{dS_1} = \frac{dE_2}{dS_2}$

$S_{\text{总}} = S_1 + S_2, S_{\text{总}} \text{取 max 时稳定平衡.}$

* 平衡态不是一定有, 于是题目会问“若可以共存...”

寻找最大功: 热 $\Delta S \geq 0, \Delta S = 0$ 时 W_{max}

$W = E_0 - E, \frac{dW}{dS} = -T$

女总结: 热一 + 热二 (=0 为数值)

能量守恒永远成立. 给出“最小末温”之类的状态量的要求. 再由 $W = \Delta U$ 之类的得到 W_m . (如果体系独立的话)

> 利用熵求解气体过程:

例 $P = 6P_0 + \frac{P_0}{V_0} V$ 1 mol 理想气体 经过该过程.

$C(T) = C'(T)$ 热容作为 T 函数相同时 决定了 $S = \int \frac{C(T)}{T} dT$ 熵的行为也相同.

现求另一个准静态过程, 每一温度上具有与该过程相同的热容. 过 $(4P_0, 4V_0)$ 点.

则 $S(T) - S'(T) = \text{const.}$ 即 $\ln \frac{V(T)}{V'(T)} = \text{const} = \ln k$

> 混合熵:

$N_1 V_1, N_2 V_2 \rightarrow N_1 V_1, N_2 V_2 \rightarrow \frac{N_1 V_1 + N_2 V_2}{2} \rightarrow \frac{N_1 V_1 + N_2 V_2}{2}$

$P' = 6kP_0 + \frac{P_0}{V_0} k^2 V'$ 如值无常数. $P' = 3P_0 + \frac{1}{4} \frac{P_0}{V_0} V'$

$\Delta S = Nk \ln \frac{(V_1+V_2)^2}{4V_1V_2} = 2Nk \ln \frac{V_1+V_2}{2} - Nk \ln V_1 - Nk \ln V_2$ (单绝体积的说法认为仍可分辨, 若擦去, 则 $\ln(V_1+V_2)$)

吉布斯佯谬:

$2\gamma R \ln 2V + 2\gamma C_V \ln T - 2(\gamma R \ln V + \gamma C_V \ln T) = 2\gamma R \ln 2$

来源: 信息熵

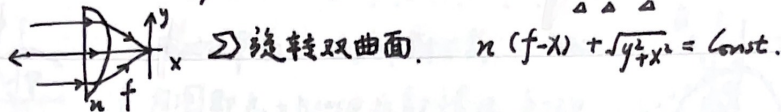
每擦去 1 bit 需熵增 $k \ln 2$.

若左右为同种气体, 理论上 ΔS 应为 0.

$\Delta S = 2N \cdot k \ln 2 = 2\gamma R \ln 2$

△ 几何光学...

> 费马原理: 比如求解严格成像面时, 可以利用等光程的结论.



存在某条光线

↓ 表达其光程 $L(n, x/r)$

↓ 光程是极值 (or Const)

$0 = \frac{dL}{dx} / \frac{dL}{dr} \dots (L = \text{Const})$

> 夹角平面镜: 如果考察光线或粒子运动轨迹, 都是在补全对称面.

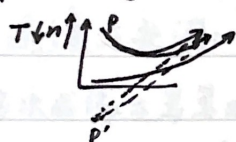
详细一些: 像点为 $\begin{cases} A \\ B \end{cases}$ = 类, $A'B'$ 对顶为吞没区(终结)
(先从A开始)



应用包括多普勒如... (产生u), 回收期三种频率. * 考试需证明

> 连续介质: 光力类比可以帮助想象轨道. 做实际上就是 $n(r) \sin \theta = \text{Const}$ 或 $n(r) r \sin \theta = \text{Const}$

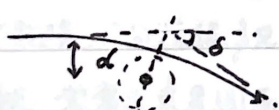
解微分方程. (可存为“折射定律光力类比”) 海市蜃楼:



注意微分方程 $\frac{dy}{dx} = \pm \sqrt{\dots}$ 有个正负即方向的问题. 可以趁早判断.

还有同小量近似有关的. 举例子: [Ex] 引力透镜星光偏转解释:

$n(r) = 1 + \frac{2GM}{rc^2}$



证明 $\delta = \frac{4GM}{dc^2}$

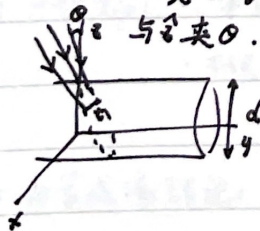
$k = \frac{2GM}{c^2} \ll 1$. $nr \sin \theta = \text{Const}$ 有 $(r+k) \sin \theta = d$

$\frac{\sin \theta}{r} = \frac{d}{dn} \Rightarrow \Delta \theta = \int \frac{dn}{r} dr \rightarrow \int_0^{\frac{\pi}{2}} \dots d\theta$

代入 r, θ 关联式求得 $2(\frac{\pi}{2} + \frac{k}{d})$. 得证.

> 解析型折反射: 我们用波矢 k 表示光线的方向, 点乘等式表达夹角. 注意最好还是画立体平面图. 思考角度之类的. 不要完全陷入“表达每个矢量”的解析泥潭.

[Ex] 在 $y=L (L \gg d)$ 处放一垂直于 y 的大光屏 ($t < d$) 宽 t 激光平行于 xOz 面射向圆柱.



(1) 柱银质(反射). 求屏上圆弧半径和张角 θ_1 .

(2) 柱折射率 n . 下半面 ($z < 0$) 内镀银. 求屏上圆弧半径和张角 θ_2 .

$n = 1.5, t = \frac{\sqrt{2}}{2} d, \theta = \frac{\pi}{3}$.



(截面)

T2C3

△ 几何光学 (2)

□ ▷ 张角 (圆心角) 反映光线歪斜, 与 y 无关, 可取截面考察! (除了“真”夹角)

(1)  k_y 在切平面上, 反/折射不变. (2)  左图即 $k_x = k \cos \theta$ 反射情况, $\delta = 2\varphi$.
 $\theta_1 = 4\varphi_m = 4 \sin^{-1} \frac{t}{d}$
 代入得 $\theta_2 = 2\theta_m$ (单调 θ_{cp}) = 45.8°
 (切平面内不变) $k_y = k_y', k_{||} = k_{||}'$
 而 $k' = nk$, 则 $k_{\perp} = \sqrt{(nk)^2 - k_y^2} = k_{\perp}'$
 $\tan \alpha = \frac{k_y}{k_{\perp}} = \frac{k_y}{\sqrt{(nk)^2 - k_y^2}} = \frac{\sin \varphi \cos \theta}{\sqrt{n^2 \sin^2 \theta - \cos^2 \theta \sin^2 \alpha}}$

$\hookrightarrow d$ 时 $r_1 = r_2 = L \cot \theta$.

① $k_{||}$ 不变 k_{\perp} 反向 / $k' = nk$ \vec{k} 分解解法 \uparrow

② (法向 \vec{n}) \rightarrow 代矢量公式法 \square 只算算 \vec{k} , 比如 $\delta = 4d - 2\varphi$ 等还要自己分析, 或求个夹角 α , 不然陷进去了.
 (不推荐) $\left\{ \begin{array}{l} \text{反} \vec{k}' = \vec{k} - 2(\vec{k} \cdot \vec{n})\vec{n} \quad (n_0 \text{ 代 } -1) \\ \text{折} \vec{k}' = \vec{k} - \left[\vec{k} \cdot \vec{n} + \sqrt{|\vec{k}|^2(n_0^2 - 1) + (\vec{k} \cdot \vec{n})^2} \right] \vec{n} \end{array} \right.$

> 透镜与光阑: 以暴算题为主, 多聚焦在各折光线角度等限制上, 讲一些常见的点:

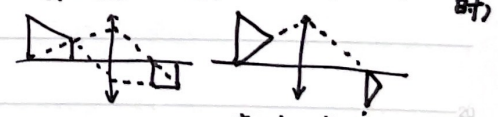
I. 多次成像在暴算时, 如果是单线的较简便, 有时是解方程的, 建议首尾两头往中间表达, 再相等, 书写注意整齐有序, 高斯公式, u, v, f , 都一并列好.

II. 不建议做光瞳失配, 直接分析临界光线, 请画出来!

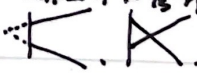
III. “光强...” 问法很多见, 理论上无需算立体角, 因为是傍轴 (二维不是 0° 是 0°), 考虑的即是面积, 常常光束是圆面, 可能计算 πr^2 ; 或是简单的 $\frac{r^2}{f^2}$ (不过 I_0 ... 指单位面积)

IV. 公式常用: $y n \theta = y' n' \theta'$ 亦即 $\theta' = \frac{\theta}{\beta}$ ($n = n'$ 时), 纵向放大率 $\frac{dy'}{du} = -\frac{y}{f} \beta^2$ 亦即 $\alpha = -\beta^2 (n' = n)$

V. 如果是非单点的几何物体成像, 可以借助图像.



当然也有一种如图成圆这类代数代换的.

VI. 一些 Tip: \cdot 带有平面镜系统, 两个特殊位置 . \cdot 不仅是光线, 凡是拉直线然后距中轴 r , 都应想到两类 . (有时只考虑 r 大小, 计算上可不管 \pm)

* 光学成像结论: I. 平行玻璃砖, 非傍轴 α 角  像点位于出射点, 逆向走 $\frac{1}{\cos \alpha} (u + \frac{d \cos^2 \alpha}{n \cos^2 \beta})$ 处. (α 与 $\alpha + \pi$ 两条, 傍轴 $u + \frac{d}{n}$ 处)

落日

与之相关的“大气层光学”另见下方。

> 扁一些: 太阳张角 $\Delta\varphi = \frac{2R_s}{r_{SE}}$ 大气层视为一层均匀介质。



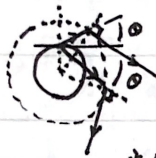
正弦定理
折射定律

+ 近似 $\Rightarrow \Delta\varphi$ 对应上沿有个 $\Delta\theta$ 。

下沿为切地球时 ($\theta=0$)

于是垂直向 $\Delta\theta$ 横向 $\Delta\varphi$ 会扁一些。

> 暗带: 大气层在地表附近折射率突变, 形成一层界面。

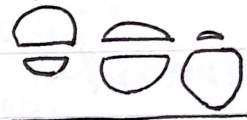


全反处之后暗带: 光无法抵达:



若在山, 可以接收负向的光线, 不过对称的角度有同样的临界

光线, 就类似于一条 θ 的暗带。

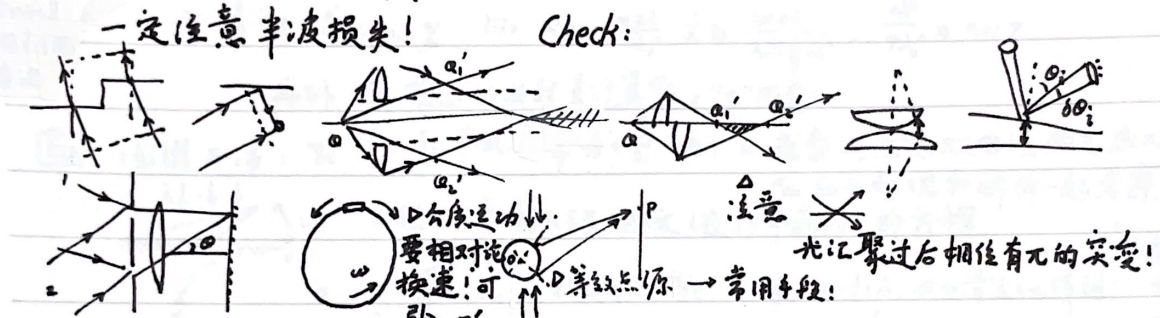


> 绿色:

△ 干涉 (一)

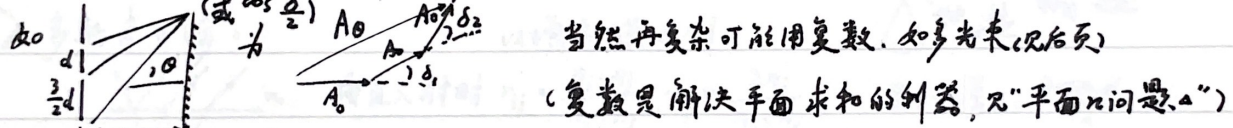
一般一大类问题都聚焦在光程差的计算上, 主要是几何的计算. 有时是画的两条具体光线算出相位差 δ , 有时找出等效的相干点源, 有时会利用物像的等光程性.

(考虑半波损失!) 常见的模型, 也许考不到但也要清楚: 杨氏双缝, 菲涅耳双缝, 洛埃镜, 薄膜干涉, 牛顿环 (注意来回), 迈克尔逊仪, (法布里-珀罗仪) 等.



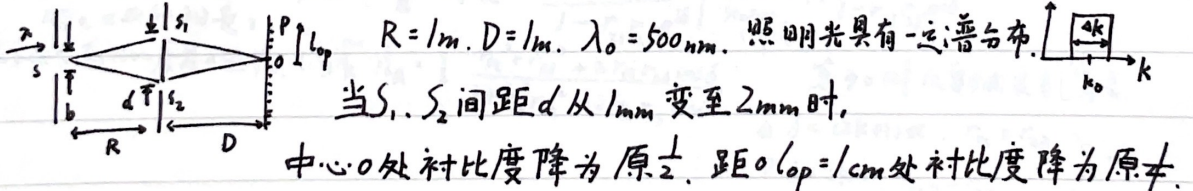
另一类问题聚焦在条纹的观察上, 涉及 δ 与 I 的分析, 然后可能需要做 dI 的积分或者双缝,

$I = I_0 \frac{1 + \cos \delta}{2}$ 两束光 δ 干涉是这? 有时候会回归到最原始的矢量图解法.



> 变参干涉: 不同 b, λ 等提供了不同的 $dI, dI_0, d\lambda, dk$ 等.

Ex 杨氏双缝对比度的影响:



(1) 求光源宽度 b (2) 求光谱宽度 $\Delta \lambda$, 并分析计算结果的误差.

每偏光元 k, λ 贡献光强 dI , 积为 $I = \int_{k_0 - \frac{\Delta k}{2}}^{k_0 + \frac{\Delta k}{2}} \int_{-\frac{b}{2}}^{\frac{b}{2}} [1 + \cos(\frac{kd}{D}(x + \frac{D}{R}\xi))] d\xi dk$

Δ 积 k 更好, 其实 α 积为 λ .

亦可积 λ , 不过 λ 在三角函数里位于分母, 小量近似提上来, 结果与 k 小量出来应该相同.

$I = \int_{k_0 - \frac{\Delta k}{2}}^{k_0 + \frac{\Delta k}{2}} [b + \frac{2R}{kd} \cos \frac{kd}{D} x \sin \frac{kdb}{2R}] dk$

至此已积出空间相干性即光源扩展的影响. 其对比度 $\gamma = \frac{\sin \frac{kdb}{2R}}{\frac{kdb}{2R}} \rightarrow \frac{\sin \frac{\pi db}{\lambda_0 R}}{\frac{\pi db}{\lambda_0 R}}$

($I_{(x)} = I_0 (1 + \gamma \cos \frac{kd}{D} x)$)

将 γ 处的 k 近似为了中值, 有一定合理性, 可见于 (2) 误差.

Δ干涉 (2)

再对k级各 $I = b_{ak} + b_{ak} \cdot \frac{\sin \frac{\pi db}{\lambda_0 R}}{\frac{\pi db}{\lambda_0 R}} \cdot \frac{\sin \frac{\pi k dx}{2D}}{\frac{\pi k dx}{2D}} \cdot \cos \frac{k dx}{D}$

例得 $I_2 = \frac{\sin \frac{\pi k dx}{2D}}{\frac{\pi k dx}{2D}} \approx \frac{\sin \frac{\pi \lambda dx}{\lambda_0^2 D}}{\frac{\pi \lambda dx}{\lambda_0^2 D}}$ 而 $I = I_1 \cdot I_2$ (1) (2) 中 $b \cdot \lambda$ 可解 $\Rightarrow b = \frac{\lambda_0 R}{3d} = 0.17 \text{ mm}$
 $\lambda = \frac{\lambda_0^2 D}{3dx} = 8.3 \text{ nm}$

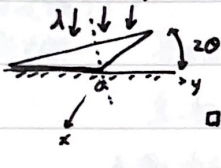
误差: $I_1(\lambda_0) = 0.82$
 $I_1(\lambda_0 + \frac{\Delta\lambda}{2}) - I_1(\lambda_0 - \frac{\Delta\lambda}{2}) = 0.005 \cdot \frac{0.005}{0.82} \approx 0.6\%$

ii) 傍轴 $\frac{d}{R} \approx 0.1\%$ iii) $\Delta k \approx \frac{2\pi \Delta\lambda}{\lambda_0^2}$ 实为 $\frac{2\pi \Delta\lambda}{\lambda_0^2 - \frac{1}{4}\Delta\lambda^2} \cdot \frac{\Delta\lambda^2}{4\lambda_0^2} \approx 0.01\%$

再补一道普通的光程差计算题 ("三"还有):

Ex

圆锥干涉: 注意: I. 半波膜常为 $+\frac{\lambda}{2} = k\lambda$. II. 条数时注意双曲线两支, 应 $\times 2$. III. k_m 应从红观和解析一起考虑.



很小, 求第k级明纹 (在xy平面内) 的方程.
列 $y^2 \sim y_0^2$, 令 $2\theta = (k - \frac{1}{2})\lambda$. 0 小量近似得到
 $\Rightarrow y = -\frac{\theta}{(k - \frac{1}{2})\lambda} x^2 + \frac{(k - \frac{1}{2})\lambda}{4\theta}$ [抛物线]

III. "中心为暗纹... 从中心外第10条明纹" 注意植树问题, 其与中心差的是 $9 + \frac{1}{2}$ 个!

附: 解释: 等光程面 [圆锥] 地面作为平面截之.



> 多光束干涉:

以增透膜为例:



每直入射时 $r_{ij} = \frac{n_i - n_j}{n_i + n_j}$, $t_{ij} = \frac{2n_i}{n_i + n_j}$. 其中相差 $\delta = \frac{4\pi n_2 d}{\lambda}$
反射光 $A_{r12} \cdot A_{t12} t_{21} r_{23} \cdot A_{t12} t_{21} r_{23} \cdot r_{21} r_{23} \dots \dots A_{t12} t_{21} r_{23} e^{i\delta} \cdot (r_{21} r_{23} e^{i\delta})^{n-2}$

总 $A_R = A [r_{12} + \frac{t_{12} t_{21} r_{23} e^{i\delta}}{1 - r_{21} r_{23} e^{i\delta}}]$ $\xrightarrow{\text{Sokhotski}}$ $A \frac{r_{12} + r_{23} e^{i\delta}}{1 - r_{21} r_{23} e^{i\delta}}$
关于透射面可以参考文献 $(A_R \tilde{A}_R) |R| = \frac{n_2^2 + r_{23}^2 + 2n_2 r_{23} \cos \delta}{1 + r_{21}^2 r_{23}^2 - 2r_{21} r_{23} \cos \delta}$ 等于0时反射光完全消去.

$\delta = (2k+1)\pi, r_{12} = r_{23}$
 $\delta = 2k\pi, r_{12} = -r_{23}$

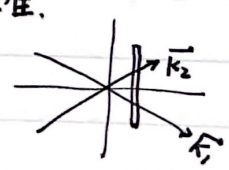
可以根据 $r = \frac{n_1 - n_2}{n_1 + n_2}$ 判断是否需要考虑多光束干涉.

通常在介质的折射率相近的近似下, 使用一二两束光干涉亦可得到 $n = \sqrt{n_1 n_2}$ 等正确结论. ("难集", $n \ll 1$ 近似, 如 $(1 - n^2) \rightarrow 1$)

在多层膜时有一个等效反射率的替代. 在光学厚度为 $\frac{\lambda}{4}$ 时, $R = \left(\frac{n_0 - \frac{n_1^2}{n_2}}{n_0 + \frac{n_1^2}{n_2}} \right)^2$
单面时 $r = \frac{n_0 - n}{n_0 + n}$. 故 $\left| \frac{n_0}{n_2} \right| \cdot \tilde{r} = \frac{n^2}{n_2}$. 更多反透膜向上递推.

> 空间光场干涉: 碰到的似乎不多, 也不会有理论上的困难, 只需用

$A_0 \cos(\omega t - \vec{k} \cdot \vec{r})$ 或 $A_0 e^{i(\omega t - \vec{k} \cdot \vec{r})}$ 叠加计算, 就可以切表.



衍射

波动光学，核心在于相位差引起的叠加特性。在不考虑偏振方向、正交时，即是 $A_1^2 + A_2^2 + 2A_1 A_2 \cos \delta_{12} = A^2$ 一个式子。并非 $I \propto A^2$ 。衍射也只是进一步连续化为了积分，借了复数这一工具进行。

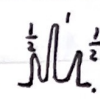
> 菲涅耳衍射积分公式。瞳函数 $(1 + \cos \frac{2\pi x}{d})$

单缝衍射：
$$\tilde{A}(\omega) \propto \int_{-\frac{a}{2}}^{\frac{a}{2}} e^{ikx \sin \theta} dx$$

$(a = \frac{ka \sin \theta}{2}, \beta = \frac{k d \sin \theta}{2})$

$$\propto \frac{\sin \alpha}{\alpha} \cdot \int_{-\frac{d}{2}}^{\frac{d}{2}} (1 + \cos \frac{2\pi x}{d}) e^{ikx \sin \theta} dx$$

$$\propto \frac{\sin \beta}{\beta} + \frac{1}{2} \frac{\sin(\beta - \pi)}{\beta - \pi} + \frac{1}{2} \frac{\sin(\beta + \pi)}{\beta + \pi}$$

仅三级。 

N元干涉：
$$\sum_{j=0}^{N-1} e^{ik d \sin \theta j} = \frac{1 - e^{N \cdot ik d \sin \theta}}{1 - e^{ik d \sin \theta}}$$

$| \dots | = \frac{\sin N\beta}{\sin \beta}$

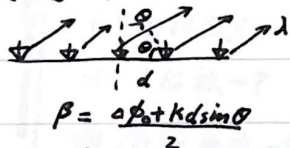
> 光栅：基础理论要熟悉。 $I(\omega) = I_0 \cdot (\frac{\sin \alpha}{\alpha})^2 (\frac{\sin N\beta}{\sin \beta})^2$ $\frac{d}{\lambda}$ 导致的缺级。

主极大 $d \sin \theta = k\lambda$ ，中间 $N-2$ 个次极大。主极大半角宽 $\Delta \theta = \frac{\lambda}{Nd \cos \theta}$ 。

色散本领 $D_0 = \frac{\delta \theta}{\delta \lambda} = \frac{k}{d \cos \theta}$ 色分辨率 $R = \frac{\lambda}{\delta \lambda} = kN$

一种是对经典理论的考察，如35届复赛（DNA衍射）。

还有不少题是回归原理式的考察，最著名的模型就是  相控阵雷达。



* β 称作“相邻单元相位差的一半”

I. 如果问主极大的条件，一定是所有（包括经过调整单元）相位差为 2π 。

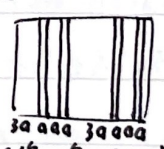
具体分布可以这么干：举个例子，坏了一个虫或者有两虫间距误为 $1.5d$ （靠近中间的地方）

可将  为左右好的两组 N_1, N_2 ，各自 $A_1 \propto \frac{\sin N_1 \beta}{\sin \beta}$ ， $A_2 \propto \frac{\sin N_2 \beta}{\sin \beta}$ ，再由 A_1, A_2 进行 δ 相位差的叠加（干涉）， δ 即为两组中心点间距 $\times k \sin \theta$ 。（若 $N_1 = N_2$ 即为 $(\frac{\sin \frac{N}{2} \beta}{\sin \beta} \cdot \cos \frac{\delta}{2})^2$ ）

换回夫琅禾费衍射，亦即求解如此类问题：

注意这里 A_1 还有 $\frac{q_1}{a_1}$ ， A_2 还有 $\frac{q_2}{a_2}$ 。

光强里还有 $a_1^2 (1 + a_1^{-1}) + a_2^2 (1 + a_2^{-1}) + 2a_1 a_2 \dots$

 $\frac{\sin \beta}{\beta} \cdot \cos \frac{\delta}{2} \cdot \frac{\sin N\beta}{\sin \beta}$

（缝缘隔 a 或 $3a$ ，共 $2N$ ）

II. 当光束（衍射线）强度高集中（于0级附近）时，通过改变 $\Delta \theta$ 调控扫描方向，如 $\theta_0 = \omega t$ 。

注意 $\frac{\omega t}{2}$ 只附加于缝间干涉上（如果是调控如正弦光栅间单元相位的活），单缝衍射的 β 多半是不用加的。

转动后强度分布也会变化，正弦光栅也会有无数级了。

> 艾里斑： $0.61 \frac{\lambda}{r}$ ， $1.22 \frac{\lambda}{D}$ 是半角宽， $1.22 \frac{\lambda}{r}$ 才是直径！

△ 偏振

偏振光在同一直线上由相干进行叠合 $A_s^2 = A_{1s}^2 + A_{2s}^2 + 2A_{1s}A_{2s}\cos\delta$, 在不同正交方向上独立. 光强 $I = I_x + I_y = A_x^2 + A_y^2$. 如图偏振光 $I = 2A^2$.

注意, 自然光和部分偏振光是混合光, 可以视为大量线偏光的叠加 (自然光只是其振幅相同, 密度均匀), 在经过偏振片后是A不变的线偏, 但具有平均值 $\sqrt{\frac{I_0}{2}}$, 部分偏振则可视为 $\sqrt{I_{max}}, \sqrt{I_{min}}$ 最终加和. (其实只要是两正交方向就能代表 $(A_1)^2 + (A_2)^2$)

* 附: 部分偏振光 i) $I_0 = I_{max} + I_{min}$ 且 I_{max}, I_{min} 正交. ii) 偏振度 $P = \frac{I_{max} - I_{min}}{I_{max} + I_{min}}$

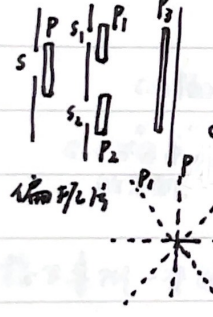
iii) 就透过偏振片而言, 部偏 = 自然 + 线偏

自然光和部偏光刚开始如马吕斯定律可以用 I_0 表示, 一旦取线进行相位叠和操作后建议开根用A.

大部分题目都是研究偏振光的干涉, 还是聚焦在光程差的计算和最终IA的三角叠和上. 如果绕来绕去很多, 建议直接到x,y向振动. (一般是与振幅, 脑子里记着相位差)

Ex Check:

辅助: 原干涉条纹最强处为 $4A^2 = 4I_0$.



问条纹变化:

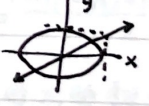
- (1) S后放-P
- (2) 再于S1, S2后放P1, P2, 夹45°角.
- (3) 屏前再放-P3, 与P同向.
- (4) 让P3与P垂直.
- (5) 拿掉P

- (1) $2I_0$
- (2) 无 (以眼不区分偏振结构)
- (3) $\frac{I_0}{2}$
- (4) 移动变个条纹
- (5) 无 (两单缝衍射相叠)

Ex 一束单色各向椭圆偏振光 (椭圆成分+非偏振成分) 沿z.

起偏器沿x时透射光强最大 $1.5 I_0$. y时最小 I_0 . (1) 透射轴与x成θ时的光强. (2) 先通过半波片, 波片轴沿x或y, 再通过起偏器, 发现与x成30°时透射光强最大. 求非偏振成分在光中占比.

(1) $1.5 I_0 = I_u + I_{ex}$
 $I_0 = I_u + I_{ey}$



(2) $\frac{I_{ex}}{I_{ey}} = 3 \Rightarrow I_u = \frac{1}{4} I_0, I_{ex} = \frac{3}{4} I_0, I_{ey} = \frac{1}{4} I_0$

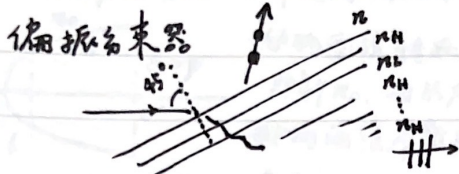
$$I_\theta = I_u + I_{ex} \cos^2 \theta + I_{ey} \sin^2 \theta$$

$$= 1.5 I_0 \cos^2 \theta + I_0 \sin^2 \theta$$

$$\frac{2I_u}{2I_u + I_{ex} + I_{ey}} = 60\%$$

偏振 (二)

> 界面折反射: 反射光s占主导, 折射光p占主导, 布儒斯特角 $i_B = \arctan \frac{n_2}{n_1}$ 或 $\theta_{反} + \theta_{折} = \frac{\pi}{2}$.



计算总有 $n = \frac{\sqrt{2} n_1 n_2}{\sqrt{n_1^2 + n_2^2}}$
为使s光偏振度最大

这里涂一下前面(干净点)关于多光束的东西:

- 附: 振幅反射率 \tilde{r}
- 强度反射率 R
- 能流反射率 \tilde{r}
- $R + \tilde{T} = 1$ $R = |\tilde{r}|^2$ $\tilde{T} = |\tilde{t}|^2$
- $R + \frac{\cos i_2}{\cos i_1} \tilde{T} = 1$

★ 无论n怎么排, 对反射光(透)要求是相长还是相消, 用1,2最切两束光直接写出的条件与用多光束得出的条件相同, 但 $n = \sqrt{\dots}$ 之类的折射率条件(指相位, 即d) 要严格导出还是要多光束.

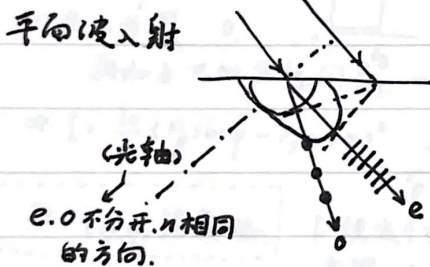
例如: 这里 n_1, n_2 已选好, 为使 R_s 最大则 (> / < / <> 型)

$$\begin{cases} 2n_1 d_1 \cos \theta_1 = (k_1 + \frac{1}{2})\lambda \\ 2n_2 d_2 \cos \theta_2 = (k_2 + \frac{1}{2})\lambda \end{cases}$$

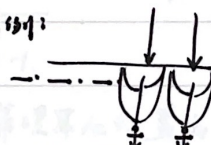
在前面的增透膜里, 为使 T_0 最大(也即 R_s 最小) (> / << 型)

$$2nd \cos \theta = (k + \frac{1}{2})\lambda$$

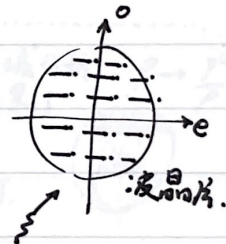
> 双折射: 正晶体 $n_e > n_o$ ① 负晶体 $n_e < n_o$ ②



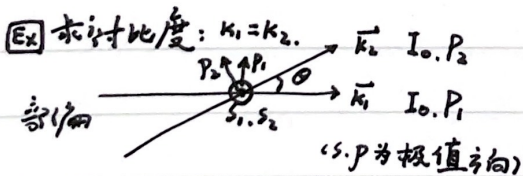
特例:



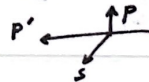
$$\delta = (n_o - n_e) d \cdot \frac{2\pi}{\lambda}$$



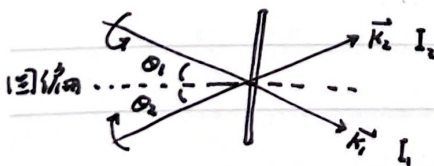
接下来附一些偏振光的例题.



★ 分解成三个正交方向计算, 最后代数求和.



设 δ , 最后 ± 1 得 γ .



$$P_1, P_2, I_0 \text{ 表示 } I_{s1}, I_{s2}, I_{p1}, I_{p2} \text{ 干涉 } \gamma = \frac{\sqrt{(I_{p1} + I_{p2}) + \sqrt{(I_{p1} - I_{p2})^2 \cos^2 \theta}}}{2}$$

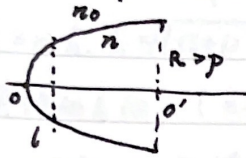
注意有时存在因坐标方向(投影)产生的 π 的相位差.

$$\gamma = \frac{\sqrt{I_1 I_2}}{I_1 + I_2} \cdot (1 + \cos(\theta_1 + \theta_2))$$

偏振(三)

Ex 几何更多的偏振光折反射:菲涅耳公式

T3C2



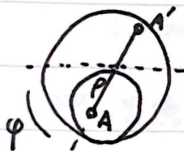
抛物面透镜而成的介质 $n < n_0$.
外部 n_0 . 光从右侧垂直射入.
抛物面的焦参数 p . 考虑反射.



(1) 一条距 oo' 轴 h_0 的光, 各出射光的出射点.
距轴 h 为?

(2) 截去顶端长 $l = \frac{p^2}{2R^2}$ 一部分.
并在右侧放一偏振片. I_0
自然光入射 (如图). 求光屏上
光强分布.

Ⅰ. 定法面
★ (光在里面)
Ⅱ. 分解 s, p
Ⅲ. s 方向不变
 p 方向建议画图. 可能有 π !



$$A_s = \sqrt{\frac{I_0}{2}} \sin \varphi \quad A_p = \sqrt{\frac{I_0}{2}} \cos \varphi$$

$$I = A_s^2 r_{s1}^2 r_{s2}^2 + A_p^2 r_{p1}^2 r_{p2}^2 + 2A_s A_p r_{s1} r_{s2} r_{p1} r_{p2} \cos \delta_{sp}$$

δ_{sp} 由外反射
姑且认为是 0.
再加上 π 的坐标问题. $\cos \delta_{sp} = -1$.

$$\Rightarrow I = \frac{I_0}{2} (r_p \sin \varphi - r_s \cos \varphi)^2$$

2) $I(p, \varphi)$ 答案略.

但还不是最终的 I !
光强 < 振幅变化
密度 (汇聚. 散开)

(1) 平行光过焦点. 采用极坐标.

$$h_0 = \frac{p}{1 + \cos \theta} \sin \theta, \quad h = \frac{p}{1 - \cos \theta} \sin \theta$$

$$h_1 = h_0$$

$$h_2 = h_3 = \frac{p^2}{h_0}$$

要求 $h_0 > \frac{p^2}{R}$. 若 $h_0 < \frac{p^2}{R}$, 则
 $h_2 = \frac{R^2 - p^2}{p^2 - h_0^2} h_0$

然后区域分析: $p \rightarrow \frac{p^2}{R}$
[阴影]



(内部小圆为
1 截下. 半径 $\frac{p^2}{R}$)

* 背诵: $E_n = \frac{1}{2} m c^2 \alpha^2 \frac{Z^2}{n^2}$; $r_n = \frac{h}{m c \alpha} \frac{n^2}{Z}$; $v_n = c \alpha \frac{Z}{n}$

▽ 玻尔-索末菲模型

($E_0 = 13.6 \text{ eV}$)

由量子力学薛定谔方程解(氢原子)得到三个量子数 n, l, m . 分别对应了 $E_n = -(\frac{Z}{n})^2 E_0$.
 $L_z = m \hbar$, $L = \sqrt{l(l+1)} \hbar$. 不过 L_x, L_y, L_z 不能同时确定的. 我观测了 L_z , 就无法确定 L 具体的方向. ($n-1 \geq l \geq |m|$)
 且方向是任意的.

> 玻尔经典模型中, $E_n = -(\frac{Z}{n})^2 E_0$, 而 $L_z = L = n \hbar$. 这个首先是一个错误的认识. 只是经典轨道道下的"量子化". 在索末菲当中变为 $L_z = n \phi \hbar$. 是一个另外的量子数. 直接用 $\mu = \frac{m e \hbar}{2 m_e}$ 最好.

先把经典玻尔推导绕一遍: (*注意, $L = n \hbar$ 是过时的, 如电子偶素 $n \hbar = 2 m_e v r$)

经典轨道与定态条件 + 频率条件(里德伯方程) + 角动量量子化/对应原理

$E = -\frac{1}{2} \frac{e^2}{4\pi\epsilon_0 r}$

$E_n = -\frac{R h c}{n^2}$

$L = n \hbar / f = \frac{v}{2\pi r} \frac{2\pi r c}{n^3}$
 在 n 很大时

$L = m v r = \sqrt{\frac{e^2}{4\pi\epsilon_0 m r}}$

\Rightarrow 里德伯常量 $R = \frac{2\pi^2 e^4 m}{(4\pi\epsilon_0)^2 \hbar^3 c} = \frac{E_0}{h c} = \frac{1}{2} m c \alpha^2 \cdot \frac{1}{h c}$ [精细结构常数 $\alpha = \frac{e^2}{4\pi\epsilon_0 \hbar c} = \frac{e^2}{2\epsilon_0 \hbar c}$]

$r_n = n^2 \cdot \frac{4\pi\epsilon_0 \hbar^2}{m e^2} = n^2 a_0$ 玻尔半径 $E_n = -\frac{1}{2} m c \alpha^2 \cdot \frac{1}{n^2}$

(大概只影响第四位有效数字)

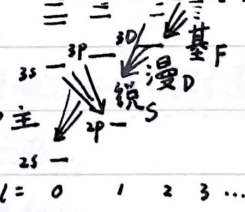
$v_n = \sqrt{\frac{e^2}{4\pi\epsilon_0 m a_0}} = \frac{e^2}{4\pi\epsilon_0 \hbar} = c \alpha$

▽ 一般的双原子体系, 直接套用结论, 即 $m \rightarrow \mu$, $e^2 \rightarrow Z e^2$

$E_1 = \frac{1}{2} \mu c \alpha^2 Z^2$, $r_1 = \frac{a_0 \mu}{m_e} \cdot \frac{1}{Z}$

> 索末菲——椭圆修正

石碱金属光谱(Li)



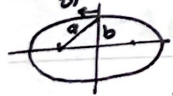
关于能级分裂:
 轨道贯穿和原子实极化

$E = -\frac{Z e^2}{8\pi\epsilon_0 a}$ 与 b 无关.

在 $b=a$ 的特殊情形下, 由玻尔理论 $L = m v a = n \hbar$.

得 $E = -\frac{m Z^2 e^4}{32\pi^2 \epsilon_0^2 n^2 \hbar^2}$ (就是上面玻尔理论的式子)

现在, $L = m b v$, $E = \frac{1}{2} m v^2 - \frac{Z e^2}{4\pi\epsilon_0 a}$.



$= n \phi \hbar$ 得 $b = \frac{4\pi\epsilon_0 n \phi \hbar^2}{m Z e^2}$

有 $\frac{b}{a} = \frac{n \phi}{n}$

> 索末菲——相对论修正 解决了能级对 $n \phi$ 的简并.

有 $u = A \cos(\sqrt{1 - (\frac{e^2}{4\pi\epsilon_0 c L})^2} \phi) + \frac{e^2}{4\pi\epsilon_0 c^2 L} \frac{1 - (\frac{e^2}{4\pi\epsilon_0 c L})^2}{1 - (\frac{e^2}{4\pi\epsilon_0 c L})^2}$

即 $u = A \cos(\sqrt{1 - \frac{\alpha^2}{n^2}} \phi) + \frac{E}{h c} \frac{\alpha}{n^2 - \alpha^2}$

索末菲提出 $\oint p_r dr = n_r \hbar$, $\oint p_\phi d\phi = n_\phi \hbar$. 另外, $(n = n_r + n_\phi)$

相对论) 得 $E = m c^2 \sqrt{1 + \frac{\alpha^2}{(n_r + n_\phi)^2}}$

在近似圆轨道下, 还可以留有主量子数的概念:

$E_n = m c^2 (\sqrt{1 - \beta^2} - 1)$, $\beta = \frac{\alpha}{n}$ ($\frac{\alpha Z}{n}$)

iii) 等效 Z^* 的概念: $m \uparrow a \downarrow$, 离核很近 (有聚洞会让作算核内动情形, 那他从头推)

对于外部电子, 相当于核被屏蔽了一定电量.

如 He 原子两电子处于 $1s$ 和 $4f$ 态时的能量: $E = -13.6 \times \frac{Z^2}{1^2} - 13.6 \times \frac{1^2}{4^2} = -55.25 \text{ eV}$

△ 热辐射 (一)

> 基础理论: 基尔霍夫定律 $f(T, \lambda) = \frac{r(T, \lambda)}{a(T, \lambda)}$ → 辐射本领 $\frac{dE_{\text{发}}(T, \lambda)}{d\lambda}$
 → 吸收本领 $\frac{dE_{\text{吸}}(T, \lambda)}{d\lambda}$

▷ 吸收率 = 发射率 (比辐射率) 与物体无关

普朗克公式 $r(T, \lambda) = \frac{2\pi^5 k^5}{15 c^3 h^3} \frac{1}{\lambda^5} \frac{1}{e^{\frac{hc}{\lambda kT}} - 1}$

类比电流 $r_{T, \lambda} = \frac{1}{4} c u_{T, \lambda}$
 斯特藩定律 σT^4 — 总功率, 黑体
 $\sigma = \frac{2}{15} \frac{\pi^5 k^4}{15 c^2 h^3}$
 维恩位移定律 $\lambda_m T = b = \frac{hc}{kx_m}$ ($5e^{-x_m} + x_m - 5 = 0$, $x_m = 4.965$)

朗伯定律 $\int \cos\theta d\Omega$ [cosθ] 反射和发射

柱 $\int \frac{\cos\theta d\Omega}{2}$ 球 $\int 2\sin\theta \cos\theta d\theta$

> 光子气体: 大部分题只需抓住物态关系 $p \propto T^4$ 和过程方程, 结合热一做推导即可.

常见: 绝热 $T^3 V = \text{const}$. 等温 = 等压 内能变化 $u dV!$

$p = \frac{1}{3} n \bar{p} \cdot v = \frac{1}{3} u$ 涡流 $E = \frac{1}{4} c n \epsilon_0 = \frac{1}{4} c u$. 则 $p = \frac{1}{3} \frac{4\sigma}{c} T^4 = \frac{1}{3} a T^4$

▷ $\sigma \sim a$ 是辐射 ~ 气体的区别. $u = a T^4$

有些地方记 $a = \frac{4\sigma}{c}$. $S = \frac{4}{3} a T^3 V = \frac{16\sigma}{3c} T^3 V$

.. 光子气不断反射储存在腔体里.

辐射热流 $S = \frac{4}{3} \sigma T^3$. 考虑一热机, 最大功时

设想缓慢绝热膨胀 $\frac{dV}{V} = -\frac{dP}{P}$

用的条件为 $dS = 0$. 即 $\frac{4}{3} \sigma (T_1^3 - T_2^3) \cdot T_2 = Q_{\text{放}}$

$dt = \frac{2r \cos\theta}{c} \cdot dr = v dt$
 $dV = -2 \cos\theta \frac{V}{c} \cdot \gamma = -\frac{dV}{\gamma} \Rightarrow \frac{1}{\gamma} = \text{const}$

朗斯基效率 $\eta = 1 - \frac{4}{3} \frac{T_2}{T_1} + \frac{4}{3} \frac{T_2^4}{T_1^4}$ $\sigma T_1^4 = Q_{\text{吸}}$

> 热力学平衡的思想: 虚构同T平衡或形状因子可以创造.

以柱偏
心为例:



2上dΩ传给1 = $\sigma T_2^4 \cdot \frac{\sin\theta_1 - \sin\theta_2}{2} ds$
 则1传给2上dΩ = σT_1^4 (同样部分)
 其它2传给2上dΩ = σT_2^4 (ds-同样部分)

> η一定反射率 (一): 某面元/体元的能流守恒. ⇒ ⇒

内外热流 $\frac{P_1}{P_2}$ 即为外传 (需补偿) 能量.

以柱同
心为例:



i $k = \frac{r}{R}$ ii 收 $P_1 P_2$
 发 $P_1' P_2'$
 (唯正确标注 "发+反")

$$\begin{cases} P_1 = k P_2' \\ P_2 = P_1' + (1-k) P_2' \\ P_1' = \sigma T_1^4 \cdot 2\pi r (1-\eta) + \eta P_1 \\ P_2' = \sigma T_2^4 \cdot 2\pi R (1-\eta) + \eta P_2 \end{cases} \Rightarrow \phi = P_1' - P_2 = \dots$$

△ 热辐射 (2)

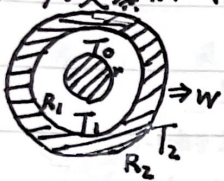
> η 一定反射率 (2): 首先要注意是反射率 η , 还是吸收率 (比较辐射率) e .

(1) 中学的例子是二维, 不是很全面, 但思路上是: i 接收比例 ii 热平衡/收发方程
(内部热流) (吸收, T表示热流)

- ① 能量代换 (柱) 设 f_1, f_2 为热辐射+反射 [发], f_1', f_2' 为接 [收].
- ② 无穷求和 依或 $(1-e)$ 求和, 先发出去一个 σT^4 再来回弹.

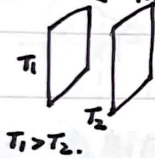
Ex 双层玻璃: 补充刚做的假设.

T3C1



T ... 已知 W 大小:
T, R_1, R_2 求 $T_0, e=0.8$.

Ex 平板 (收发为1):



(1) 比较辐射率 e .
单位面积和时间上传递的能量 W

(2) W 相同. $W = \sigma(eT_1^4 - eT_2^4) = \dots = \sigma(eT_{n-1}^4 - T_n^4) \Rightarrow W = \frac{\sigma(eT_1^4 - T_2^4)}{(n-1)e+2}$

(2) 在两板间插 n 块相同的孤立黑体板, 求 W

□ (1) ①
$$\begin{cases} \sigma T_1^4 + (1-e)f_1 = f_1 \\ \sigma T_2^4 + (1-e)f_1 = f_2 \end{cases} \Rightarrow W = f_1 - f_2 = \frac{\sigma e^2 T_1^4 - T_2^4}{1 - (1-e)^2}$$

② $f_1 = \sigma T_1^4 \cdot \frac{1}{(1-e)^2 + \sigma T_2^4 (1-e)} \cdot \frac{1}{1-e}$

△ 衰变

$A = A_0 e^{-\lambda t}$, $\lambda = \frac{\ln 2}{T_{1/2}}$, 活度 $A' = \lambda A$. 计算时可以先算出大气(初始)活度 $\text{次/g}\cdot\text{s}$
 $t = \frac{1}{\lambda} \ln \frac{A_0}{A}$, $\Delta t = \frac{1}{\lambda} \cdot \frac{\Delta A}{A}$ 而古样品即 $\frac{A_t}{A_0}$ 活度存在一比例.

> 放射性示衰变平衡: 足够长时间 (数个 $T_{1/2}$ 后), 母体子体活度相等 ($\lambda_1 N_1 = \lambda_2 N_2 = \dots$).
只有头尾在增减 (或有外界刺激补充). 比如大气 ^{14}C , $^{12}\text{C} \approx 10^{-12}$, 活度 $19 \text{次/g}\cdot\text{min}$.
(母体 λ 很大)

> 统计误差: 泊松分布 $\frac{\Delta A}{A} = \frac{1}{\sqrt{A}}$. 应用 $\Delta t = \frac{1}{\lambda} \frac{\Delta A}{A}$. A 再由探测的 A' 得到.

注意, 本底有时, 若本底 A_0 精确测得, 则应改为 $\Delta A = \sqrt{A + A_0}$.
($\Delta A_0 = 0$)

▽ 量子力学：一维定态解

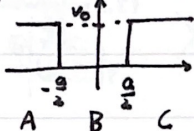
薛定谔方程 $i\hbar \frac{\partial \psi}{\partial t} = \hat{H} \psi = (-\frac{\hbar^2}{2m} \nabla^2 + V(x)) \psi$ (哈密顿算符 $\hat{H} \psi = E \psi$)

在不含时定态, $\psi(x,t)$ 可分离成 $R(x), T(t)$. $\Rightarrow i\hbar \frac{T'}{T} = \frac{\hat{H} R}{R} = \text{const} = E$, $T(t) = e^{-i\frac{E}{\hbar}t}$

则化为一维定态薛定谔方程 $\psi'' + \frac{2m}{\hbar^2} (E - V(x)) \psi = 0$

* 注意解 $y'' - k^2 y = 0$ 时不要先猜 $ch(kx + \varphi)$ (φ 可任意), 不如 $e^{kx} + e^{-kx}$ 来得简便 (前者指数式)

① 有限深势阱 (束缚态 $E < V_0$)



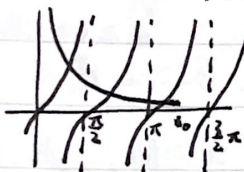
$k_1 = \sqrt{\frac{2mE}{\hbar^2}}$, $k_2 = \sqrt{\frac{2m(V_0 - E)}{\hbar^2}}$

$A_1 e^{k_2 x} / B_1 \sin k_1 x + B_2 \cos k_1 x / C_1 e^{-k_2 x}$

条件: 无穷远处收敛
边界处 ψ 连续
(由于宇称, 可只取 $\frac{a}{2}$ 处边界)

ψ 可有 $\left\{ \begin{array}{l} \text{奇宇称} \\ \text{偶宇称} \end{array} \right.$

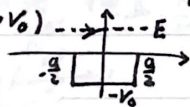
分别对应 $\left\{ \begin{array}{l} B_1 \sin k_1 x \\ B_2 \cos k_1 x \end{array} \right.$



得 $\tan k_1 \frac{a}{2} = -\frac{k_1}{k_2}$ (稳定存在的 E 的方程)

化简: $\frac{1}{2} \delta = k_1 \frac{a}{2}$, $\delta_0 = \sqrt{\frac{2mV_0}{\hbar^2}} \frac{a}{2}$, 则 $\left\{ \begin{array}{l} \sqrt{\frac{\delta_0^2}{\delta^2} - 1} = -\cot \delta \\ \sqrt{\frac{\delta_0^2}{\delta^2} - 1} = \tan \delta \end{array} \right.$

② (散射态 $E > V_0$)



可知, $V_0 \rightarrow \infty$ 即 $\delta_0 \rightarrow \infty$ 时 $\delta = \frac{\pi}{2} \pi$. $E = \hbar^2 \cdot \frac{\pi^2 n^2}{2ma^2}$ (无限深势阱)
 $V_0 \rightarrow 0$ 时始终存在有一个解.

$k_1 = \sqrt{\frac{2mE}{\hbar^2}}$, $k_2 = \sqrt{\frac{2m(E - V_0)}{\hbar^2}}$

$A_1 e^{ik_1 x} + A_2 e^{-ik_1 x} / B_1 \sin k_2 x + B_2 \cos k_2 x / C_1 e^{ik_1 x}$

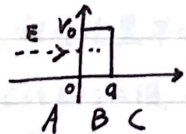
边界条件 \Rightarrow

$C_1 = A_1 \cdot \frac{e^{-2ik_1 a}}{\cos k_2 a - i \frac{k_1 + k_2}{2k_1 k_2} \sin k_2 a}$

透射系数 $T = \left| \frac{C_1}{A_1} \right|^2 = \frac{1}{1 + \frac{V_0^2}{4E(E+V_0)} \sin^2 \frac{q}{\hbar} \sqrt{2m(E+V_0)}}$

在 $T=1$ 时即 $E+V_0 = \hbar^2 \cdot \frac{\pi^2 n^2}{2ma^2}$
共振透射 (势阱透明)

③ 方势垒



$k_1 = \sqrt{\frac{2mE}{\hbar^2}}$, $k_2 = \sqrt{\frac{2m(V_0 - E)}{\hbar^2}}$

$A_1 e^{ik_1 x} + A_2 e^{-ik_1 x} / B_1 e^{k_2 x} + B_2 e^{-k_2 x} / C_1 e^{ik_1 x}$

扫描隧道显微镜

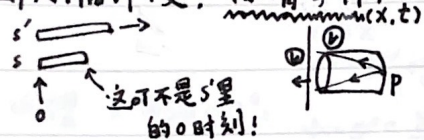
请自己算一遍.

边界条件 \Rightarrow

$T = \left| \frac{C_1}{A_1} \right|^2 = \frac{4k_1^2 k_2^2}{(k_1^2 + k_2^2) \sin^2 k_2 a + 4k_1^2 k_2^2}$ (不要 \hbar) (隧穿几率)

△ 相对论时空 (-)

如果问题是一维的, 可以使用时空图 (扣分风险), 洛伦兹变换应该是所有问题的正解. 二维光景, 光行多时空图都不会简便. 洛伦兹变换核心: 灵活换系, 正确判断. 提醒见“考试总结小点(2)”.
 断尺伸缩慢, 标清事件, 不要太死板. * 欲转圈以问题见“考试总结小点(1)”, 小点(1)“.

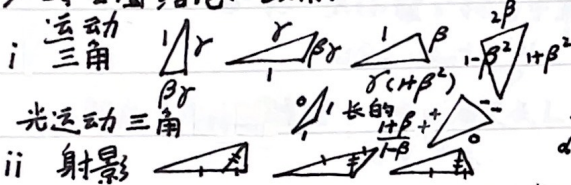


公式: [坐标] ...

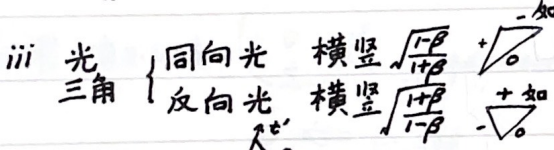
[速度] $u'_x = \frac{u_x - v}{1 - \frac{u_x v}{c^2}}$ $u'_y = \frac{u_y}{\gamma(1 - \frac{u_x v}{c^2})}$

[加速度] $a'_x = \frac{a_x}{\gamma^3(1 - \frac{u_x v}{c^2})^3}$ $a'_y = \frac{1}{\gamma^2(1 - \frac{u_x v}{c^2})^2} \left[a_y + \frac{a_x u_y v}{c^2} \right]$

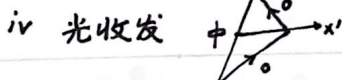
> 时空图结论: 慎用!



[光行多] $\cos \theta' = \frac{\cos \theta - \beta}{1 - \beta \cos \theta}$ $1 - \beta^2 = (1 - \beta \cos \theta)(1 + \beta \cos \theta)$



(对应速度) $v' = \frac{v(1 - \beta \cos \theta)}{\sqrt{1 - \beta^2}}$ (特别: 共线 $\sqrt{\frac{1-\beta}{1+\beta}}$)



用时注意本质就是速度变换, 这个角度说的不是钝的! $\pi - \theta$ 而且注意这只是光的公式, 什么杆子夹角变换老实按 $\tan \theta$ 来. (介质里的光!)

它问从哪个系看就尽量换哪个系(条件多)(能能量) $x \leftrightarrow p_x, t \leftrightarrow m = \frac{E}{c^2}$

请尽量不要在 S 系里绕两个都有速度的点 $p'_x = \gamma(p_x - \frac{vE}{c^2})$ $E' = \gamma(E - vp_x)$

(而且还是问它看来时间), 善于换系思考. $F'_x = \frac{F_x - \frac{v}{c^2} F \cdot \vec{u}}{1 - \frac{u_x v}{c^2}}$ $F'_y = \frac{F_y}{\gamma(1 - \frac{u_x v}{c^2})}$

多用 $dt \sim dt' \sim dx \sim dx'$ 系看来什么的 [电磁场] ... (见“广义”) (非相对比: $\vec{E}' = \vec{E} + \vec{v} \times \vec{B}$)

时间差, 以及, 相对论里平均量尽量用定义 $\bar{v} = \frac{\int v dt}{\int dt}$ (略去 γ , $\vec{B}' = \vec{B} - \frac{1}{c^2} \vec{v} \times \vec{E}$)

> 光景多: 这已传到了二维, 一般不用时空图, 除了连直接列都很难的.

例: 灯下散步: 求 (1) 地系里间距 $\frac{L}{2}$ 时影长 (2) 人系里间距 $\frac{L}{2}$ 时影长 (3) 接(2), 此时影长的变化率.

注意: F 是合力, 它是接触点速度.

∴ (1) $s_1 = 0$
 (2) $s_2 = 0$
 (3) $s_3 =$

∩ 这里都是: 划出上下界, 与现在走到的位置比较. 理解: 划过头顶起该角度光线开始

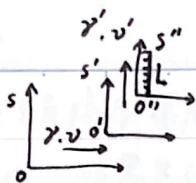
i) 使用空中那一段“储蓄”, 划出的界就是该时刻储蓄刚好用完的角度.

ii) 高度对应函数:

附: 解出 $u < 0$ 到舍去. 若 $L < 0$ 表示影在左边. 有左右两切界时影在中间. (其实前面脚就是另一界)

相对论时空 (2)

> 托马斯进动:



S'' 相对 S' 沿 v' 方向
 S' 相对 S 沿 v 方向

S 中看 $00''$:

$$\begin{aligned} x' &= \gamma(x - vt) \\ y' &= y \\ x'' &= x' \\ y'' &= \gamma'(y' - v't') \end{aligned}$$

$$\tan \theta = \frac{y}{x} = \frac{v't'}{vt} = \frac{v'}{\gamma v}$$

($0''$: $x''=0, y''=0$)

同理 S'' 中看 $00'$:

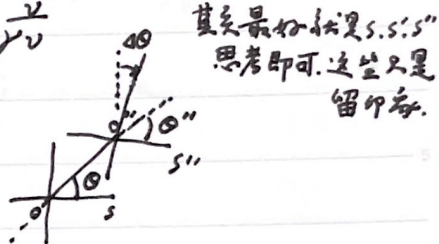
$$\tan \theta' = \frac{y''}{x''} = \frac{-v't'y'}{-vt'x'} = \frac{\gamma v'}{v}$$

$\theta \neq \theta'$. 坐标架 S'' 相当于转过了一个角度 $\Delta\theta$.

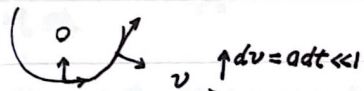
$$\Delta\theta = \tan^{-1} \frac{\gamma v'}{v} - \tan^{-1} \frac{v'}{\gamma v}$$

然后关于一个“悖论”. S'' 中 y 轴尺长 L .
令 $v' = v$.

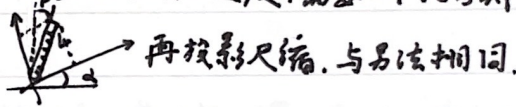
$S \rightarrow S' \rightarrow S''$ 换算看 S 中: $L\sqrt{1-\beta^2}$
 $S \rightarrow S''$ 直接合成总速度. 需要 - 一个托马斯转角 θ .



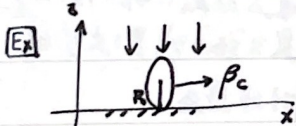
应用: 电子自旋



$$d\theta = \frac{v}{c^2} a dt$$



> 光影 (2): 光子雨



R 球体以 βc 运动. 光子雨单位面积接收能量为 P (雨量). 求

- (1) t 时刻阴影解析式
- (2) 维持运动需要的力 F .
- (3) 黑体初始 m_0, β_0 . 撤去 x 向力. 求解运动.

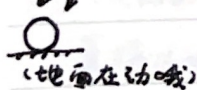
首先它也可以用“光影”中所述的切界法求解. 不过有时切界的寻找和计算很复杂. 这时由于雨简单, 可以换系. (通常把物体扩至三维, 计算时)
 > 光子雨通常把淋雨的视为黑体 (白体为见), 等于在给它增加静质能. 同时由于运动还会受到作用力. (换系不变!)
 总之抓住雨量, 动量和能量 (力).

□ 换系首先算一下雨量. \star n (光子数) 是绝对量 (几个就几个嘛)

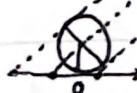
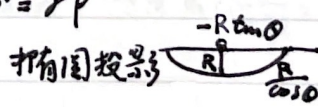
$$\theta = \arcsin \beta$$

$$\begin{aligned} E' &= \gamma E \\ \Delta t' &= \gamma \Delta t \\ \gamma \Delta s' &= \Delta s \end{aligned} \Rightarrow P' = \gamma P$$

(注意什么在动, 什么不在动) x, t'



黑体单位时间接收 $P' \cdot \pi a b$
 $= \frac{\pi R^2 P}{1 - \beta^2}$

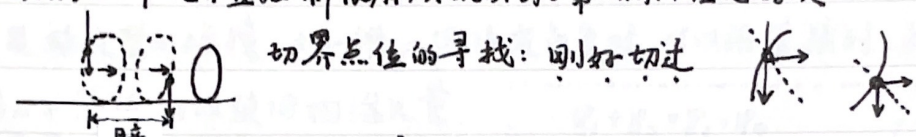


阴影先到 S 系再洛伦兹解析回去. $\Rightarrow \frac{(x - \beta c t + \beta R)^2}{R^2} + \frac{y^2}{R^2} = 1$

$\Delta t = \gamma \Delta t'$ 是确实的
 $\gamma \Delta s = \Delta s'$
 $E' = \gamma E$ 不一定.
 可以试试 P' 换到 P : $E = \gamma(E' - \beta^2 E')$.

△ 相对论时空 (三)

▷ “光景”中地尔直接解很麻烦(尤其到了第(三)问),但思路是



(2) 力也由变换得到. $\frac{\pi R^2 P}{(1-\beta^2)c}$ $F_x = \frac{\pi R^2 P \beta}{(1-\beta^2)c}$
 接触点 $\vec{u}=0$. $F_x = F_x'$ $F_z = F_z'/\gamma$ $F_z = \frac{\pi R^2 P}{c}$

(3) 水平动量守恒 (S系) ← 光子雨重要考虑点...

$$d\left(\frac{m\beta}{\sqrt{1-\beta^2}}\right) = 0$$

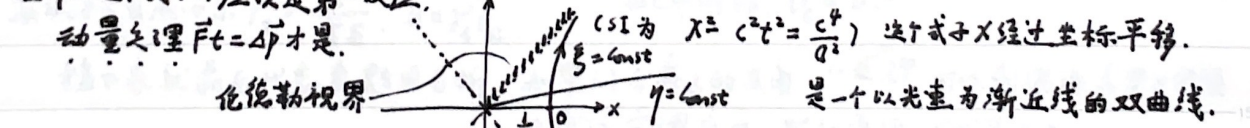
$$m \sim \beta \text{ 有 } \frac{m\beta_0}{\sqrt{1-\beta_0^2}} = \frac{m\beta}{\sqrt{1-\beta^2}}$$

 积分 $\Rightarrow \frac{1}{\beta} - \frac{1}{\beta_0} = \frac{\pi R^2 P \sqrt{1-\beta_0^2}}{m_0 c^3 \beta_0} t$ $\frac{dm}{dt} = \frac{\pi R^2 P}{(1-\beta^2)c^2} \cdot \frac{1}{\gamma}$ ($dt' = dt$)
 其它运动忽略.

> 加速运动: 当物体受一恒力F运动时,在随动系(瞬时静止/惯性系)中加速度为恒量

$a = F = \frac{m_0 a}{(1-\frac{v^2}{c^2})^{3/2}}$. $v=0$ 时 $a = \frac{F}{m}$. 这种运动也称作伦德勒观测者. 可以通过 $a_0 = \frac{v}{(1-\frac{v^2}{c^2})^{3/2}}$ 积.

但半 = 这个式子不应该是第一反应. 在地尔里运动方程 $x^2 - t^2 = \frac{1}{a^2}$ ($c=1$ 单位制)



伦德勒坐标 (双曲坐标)

$ds^2 = \pm e^{2a\xi} (-d\eta^2 + d\xi^2)$
 $t = \frac{1}{a} e^{a\xi} \text{sh} a\eta$
 $x = \frac{1}{a} e^{a\xi} \text{ch} a\eta$

动量定理 $Ft = \Delta p$ 才是.
 当然,可以从伦德勒坐标理解.
 例子: 以 a_1 运动的A发现与它同时开始运动的B始终距它L. 求B加速度 a_2 .
 可以取 $t=0$ ($\eta=0$) 分析,也可直接通取 $\eta = \text{const}$

可得, $\xi = \text{const}$ 运动的测量加速度为 $a e^{-a\xi}$
 在等 η (伦德勒系观测) 时, 时空线长(距离) $= \frac{1}{a} (e^{a\xi_2} - e^{a\xi_1})$
 $\frac{1}{a_1} (e^{a_1 \xi} - 1) = L$
 $a_2 = a_1 e^{-a_1 \xi} = \frac{a_1}{1+a_1 L}$

▷ 一般乱七八糟的变速运动,求飞船系里时间可以就 $c=1$ 为 $a_2 = \frac{a_1}{1+a_1 L}$

直接从地尔积分 $t' = \int_0^t \sqrt{1 - \frac{v_{地尔}^2}{c^2}} dt$

△ 相对论碰撞

我们描述一个相对论粒子碰撞的题目如 $1 + \gamma \rightarrow 1, 2_0 \rightarrow 2, 1_0 + \gamma \rightarrow 1 + \gamma$ 等。

> I. 一种是确定型的碰撞，如一维、二维给定角度时，可以用直接列，解出 E, P。

但化简上不熟练，可以使用四维矢量。

通常带 γ 时 IP 法可以更快。

注意有一种共振吸收，跃迁的 E_0 以 $\frac{E_0}{c}$ 体现 (加在) 静质量里。

$$\begin{aligned}
 & |P_1 + P_2 = P_3 + P_4 \\
 & (|P_1 + P_2 - P_3|^2 = |P_4|^2 \quad IP = \begin{pmatrix} E/c \\ P_x \\ P_y \\ P_z \end{pmatrix} \quad |IP|^2 = -m_0^2 c^2 \\
 & \text{展开，起到效果相同} \quad \text{点乘时首项取负} \\
 & IP^2 \text{是不变量 (一次消元)} \quad \text{等式两边可取不同系 (如 C)}
 \end{aligned}$$

还有一种理论上是一维分析，但是求阈，可以直接使用阈结论：

光子则视 $m=0$ 为静质量

阈下 P, E $\rightarrow 0$ 。如果利用阈结论，即能直接列，又好用 C 系。

i) $2_0 \rightarrow 2, T_{min} \rightarrow$ 产物共速 (C 中无速) $E_{K1max} \rightarrow 2 \sim N$ 共速 (如 ii) 中 θ_{min})

ii) $1 \rightarrow 2, E_{max}/E_{min} \rightarrow$ 同向/反向产生 $\theta_{max}/\theta_{min} \rightarrow$ C 中 0 和 $\pi, -\frac{\pi}{2}$ 和 $\frac{\pi}{2}$ 产生

注意：有可能 π 产生的粒子仍往前， $\theta_{min}=0$ ，需要 $\frac{d}{d\theta}$ 导出极值点... max.

> II. 取系异常重要，其中最主要的是 C 系，在 $2 \rightarrow 2$ 且是范围求解时特别实用。

首先牢记能量动量变换 $\begin{cases} E' = \gamma(E - \beta p_x c) \\ p'_x = \gamma(p_x - \beta E/c) \end{cases}$ 有个要关注的就是靶粒子静止，与射入粒子

$\theta \leftrightarrow \theta'$ 注意 $\theta' \sim 0$

其次提出质心系 $p'_c = \frac{\sum p}{\sum E}, E = \gamma_c E_c$ 在 C 中对称， $v_c = v'$

接下来就前后状态看题目分析，如果问后来 2 的夹角 θ ，可以利用地系里 p 守恒的余弦定理表示，然后再用 C 中 θ' 表达 $p_c \theta'$ 。

光子一般不麻烦，不推荐用 C 系，二维较推荐，如果 IP 法麻烦 (没消掉)，那么直接列多半也不简单，这时试试 C。

> 喷射：不要总是刻意回避 $v(\beta)$ ，尤其是有速度条件 (如同速) 时。

静质损完全可以避开，举个例子 $\begin{cases} \frac{5}{3} m_0 c^2 - \Delta E = m_1 c^2 \\ \frac{5}{3} m_0 \cdot 0.8c - \frac{\Delta E}{c} = m_1 v \end{cases}$ (设动质量!)

以 w 定流量 (C 系) 喷射可以换至同一系里考察 (S 系)，计算微元过程，灵活换元。

题中的有机量 (E, p, v...) 都也许可以充当和者，但首先应想 P, E 守恒 (整体)，最后再想微元。

> 辐散：粒子在 =/三维已系中等概率向四周飞散， $dN = P_{0i} \cdot N d\Omega = \frac{N}{2\pi} d\Omega'$

光 $\frac{\sin \theta' d\Omega'}{\sin \theta d\Omega} = \frac{1 - \beta^2}{(1 - \beta \cos \theta)^2} = \frac{(1 + \beta \cos \theta')^2}{1 - \beta^2}$ ($d \cos \theta = \sin \theta d\theta$) $P_{0i} = \frac{1}{2\pi} \frac{d\Omega'}{d\Omega}$ (二维)

粒子 $p_x = \gamma(p'_x + \beta E/c), p_y = p'_y$ $\tan \theta$ 得 θ' ，再导

另：微分截面 $\sigma(\omega) = \frac{b}{\sin \theta} \left| \frac{db}{d\theta} \right| = \left(\frac{a}{\theta} \right)^2 \frac{1}{\sin^2 \theta}$ (若 $\sigma_c \leftrightarrow \sigma_c$ 换系时抓送粒 + 数守恒: $\sigma_c \sin \theta_c d\Omega_c = \sigma_c' \sin \theta_c' d\Omega_c'$)

(大概可以用经典 E_k)

△ 相对论碰撞 (2)

这题原示是用(check). * 核子静能 $1k \sim 10k$ MeV, 若动能 $< 10^{-1}$ MeV, 可用 E_{cl} 经典 $\frac{1}{2}mv^2$ 但有可观误差!

④ P法 康普顿散射 $\Delta \lambda = \frac{h}{m_0 c} (1 - \cos \theta)$ 逆康普顿散射 $\frac{E_e E_\gamma}{E_{e0} E_{\gamma 0}} \rightarrow E_\gamma'$

④ C法 $z_0 \rightarrow z$: T2C2 散射光子的 $E_\gamma'_{max}$ Σ

$p + p \rightarrow \pi^+ + D$ 高能质子撞击质子产生 π^+ 介子和氘核.

$$= \frac{E_e E_\gamma}{E_e + E_\gamma - \sqrt{E_e^2 + E_\gamma^2 - E_{e0}^2}}$$

$m_p = 938 \text{ MeV}/c^2$; $m_\pi = 140 \text{ MeV}/c^2$; $m_D = 1874 \text{ MeV}/c^2$

→ ← (1) S系中质子动能阈值 T_{min} . (2) 现质子以 $2T_{min}$ 动能入射. 假设反应

局限于平面内. 在C系中各向同性的产生. 求S系中入射方向上单位角度产生 π^+ 介子的概率.

$$\Sigma (1) T_{min} = \left[\frac{(m_\pi + m_p)^2}{2m_p} - 2m_p \right] c^2 = 286.2 \text{ MeV} \quad (2) P_{(0)} = \frac{1}{2\pi} \frac{d\theta'}{d\theta} = \frac{1}{2\pi} \frac{\gamma_c^2 (\cos \theta' + \frac{\beta_c E_\pi'}{p_c})^2 + \sin^2 \theta'}{\gamma_c (1 + \frac{\beta_c E_\pi' \cos \theta'}{p_c})}$$

$\theta' \rightarrow 0, \theta \rightarrow 0, P_{(0)} = 0.286$

> 光压: 动量流密度 $p = \frac{S}{c}$ ④ $\frac{1}{c} \frac{dE}{dt}$ 求总压力 (全反) 都为 $\frac{\pi R^2 S}{c}$ ④ 光帆飞船 还有一种是确定的光源与光区, 其动量的意义更为明显, 如 ④ 球壳 求 $x(t)$, 可以有

动量守恒 $m_0 v_0 = m v + \Delta p_{光}$ ④ 部分光场的动量. ($p = \frac{S}{c} \cdot \pi R^2$) 球壳 (各处光压 + 多亦可)

> 光场常见: ④ 反应发生: 收光静质量会变! 应追寻运动中的守恒量; 收光注意多普勒!

★ 不过还要注意, 下方 Σ 中是换系的变换. 有时候需要始终在S中观察, 如接收到的光强 $I(p)$ 在“雨”的变换见“相对论时空(2.2)” 需多普勒(经典, 为乘 $1-\beta$ 或 $1+\beta$). ($(c-v)dt' = cdt$ (即不改 γ 和 t) 或时空图(略))

★ 注意有一种是光源功率 P_0 . 运动时不仅频率 ν 有压缩, 量上也有压缩. 即如 $P_0 = n_0 h \nu_0$, $n_0 \rightarrow n_0 \sqrt{\frac{1+\beta}{1-\beta}}$, $\nu_0 \rightarrow \nu_0 \sqrt{\frac{1+\beta}{1-\beta}}$. 总之是 $1+\beta$ 与 $1-\beta$ 的比收缩. 收发都适用的.

又如求光强分布: $\left\{ \begin{array}{l} dt = \gamma dt' \quad (\text{或多普勒+钟慢理解, 推荐}) \\ n = \frac{1}{(c-v)dt} \quad (\text{或时空图理解}) \\ \nu = \frac{1}{cdt'} \end{array} \right.$ ① $d\nu \sim d\nu'$ ② $dt \sim dt'$ (钟) ③ $\nu \sim \nu'$ (光的 ν) 没有静止日向接收者看或收 “光脉冲” → 没有钟慢; 只考虑波源 ν → 没有多普勒

▷ $F_x = F'_x$ 充要条件是 $\vec{F} \cdot \vec{u} = F_x u_x$. 即至少一个沿 \vec{v} 向.

△ 相对论: 广泛 (一) 瞬时有 $\frac{dp'}{dt'} = Ma$. (垂直时 $F_y = \frac{m_0}{\sqrt{1-\frac{v^2}{c^2}}} a_y$)

> 动力学: $\vec{F} = \frac{d\vec{p}}{dt}$. 一维展开有 $F = \frac{m_0}{\sqrt{1-\frac{v^2}{c^2}}} \cdot \frac{dv}{dt} \cdot \frac{1}{1-\frac{v^2}{c^2}} = \frac{m_0 a}{(1-\frac{v^2}{c^2})^2} = \gamma^3 \beta d\beta$
求导关系 $\frac{1}{(1-\frac{v^2}{c^2})^2} \sim \frac{v}{\sqrt{1-\frac{v^2}{c^2}}} \sim -c^2 \sqrt{1-\frac{v^2}{c^2}}$ (或直接记 $d\gamma = \frac{v dv}{c^2} \gamma^3$)

不过非常不建议使用微元法, 除非是题目给特定运动. 多用一次积为 $\left\{ \begin{array}{l} \text{能量定理} \\ \text{动量定理} \end{array} \right.$

取 P.E. dp, dE . 不要绕在 M, v 上, M 在改变很容易出差错.

《《国培》》里有一个模型: 光子火箭 $dp' = -\frac{dE'}{c} = -cdM$. 功率请用定义式 $\frac{dE}{dt}$ 做.

由于光速不变, 一次积为就可以解得关系: $\frac{Mv}{M_0} = \sqrt{\frac{c-v}{c+v}}$ ($= -c^2 \frac{dM}{dE}$)

更一般的考虑相对论火箭: ($dm < 0$)

$$(\gamma + d\gamma)(M + dm)c^2 = \gamma M c^2 - (-dm)\gamma_u c^2$$

$$(\gamma + d\gamma)(M + dm)(v + dv) = \gamma M v - u(-dm)\gamma_u$$

⇒ γ_u 可消, 代入 $d\gamma = \gamma^3 \frac{v}{c^2} dv$, $u' = \frac{-u+v}{1-\frac{uv}{c^2}}$ 得

$$-2 \frac{u}{c} \ln M \Big|_0^f = \ln \frac{c+v}{c-v} \Big|_0^f$$

在 $v \ll c$ 下, $\ln \frac{c+v}{c-v}$ 一阶打开成为 $-u \ln M \Big|_0^f = v \Big|_0^f$ 即齐奥尔科夫斯基公式.

令 $u=c$ 为光子火箭公式.

若反向喷(减速), 将 u 反号即可.

▷ 提示: 有时设 γ .

视作一个元是很方便的!

* 相对论 = 体系裂开 \vec{v}_i .

没有 $\frac{p_1}{p_2} = \frac{m_{a0}}{m_0}$! 老实一点列 E.P.

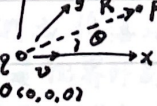
> 电磁场: $\begin{cases} E'_x = E_x \\ E'_y = \gamma(E_y - vB_z) \\ E'_z = \gamma(E_z + vB_y) \end{cases} \quad \begin{cases} B'_x = B_x \\ B'_y = \gamma(B_y + \frac{v}{c^2} E_z) \\ B'_z = \gamma(B_z - \frac{v}{c^2} E_y) \end{cases}$

可用两点由荷 \vec{v} 力变换求得.

运动点电荷产生的电磁场:

$$\vec{E} = \frac{1}{4\pi\epsilon_0} \frac{q}{R^2} \frac{1-\beta^2}{(1-\beta^2 \sin^2\theta)^{3/2}} \hat{R}$$

其中 θ 为 \vec{R}, \vec{v} 夹角.



$$\vec{B} = \frac{1}{c^2} \vec{v} \times \vec{E}$$
$$\vec{B} = \frac{\mu_0}{4\pi} \frac{q}{R^2} \frac{(1-\beta^2) \sin\theta}{(1-\beta^2 \sin^2\theta)^{3/2}} \hat{\phi}$$

> 介质中的光: 相对介质 $\frac{c}{n}$. 对地再相对论变换.

* 提示: 相差 ϕ 不变有

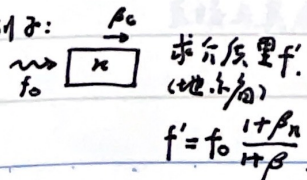
$$\Delta \omega, k \text{ 变换 } \omega' = \gamma(\omega - vk_x), k'_x = \gamma(k_x - \frac{v}{c^2} \omega)$$

$$\phi = k_x x + k_y y + k_z z - \omega t$$

(x, t) 用 (x', t') 代

与 E.p 一致, 但介质里 $\omega = k \frac{c}{n}$, 而平时正常用的 $\gamma \sim \gamma'$ 变换, 自动代入了 $E = pc$, 但此处应改为 $E = p \frac{c}{n}$ 也可.

举个例子:



① 介质里 f' (地系/局) ② 介质里, $\omega \rightarrow \omega \sqrt{\frac{1-\beta}{1+\beta}}$ = 介质里频率. 换回去注意 $v = \gamma(v' + \beta n v')$

③ 波数守恒 $\frac{c-\beta c}{\lambda_0} = \frac{c-\beta c}{\lambda'}$. $u = \frac{1+\beta}{1-\beta} c$. 再 $c = \lambda_0 f_0$ 得到 $u = \lambda' f'$

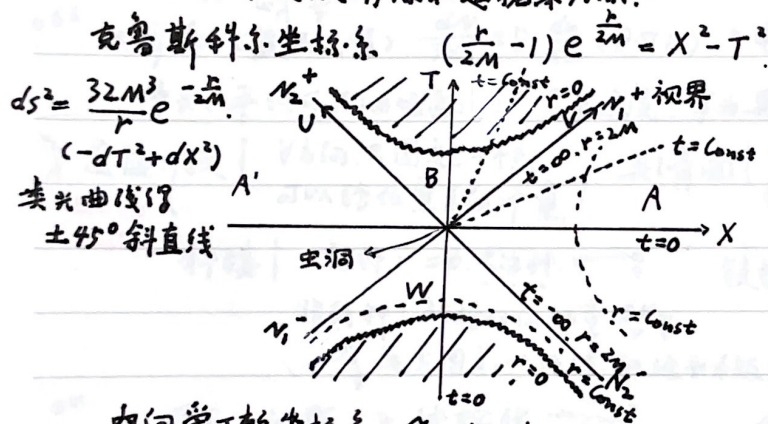
▽ 黑洞

真史瓦西线元 $ds^2 = -(1 - \frac{2M}{r}) dt^2 + \frac{1}{1 - \frac{2M}{r}} dr^2 + r^2(d\theta^2 + \sin^2\theta d\phi^2)$
 (取 $c=1, G=1$)

史瓦西坐标下, 对应有两个奇点. $r=0, r=2M$. $r=0$ 为真奇性, $r=2M$ 为坐标奇性.
 通过变换可以消除. $r=2M$ (国际制 $\frac{2GM}{c^2}$) 称事件视界.

注意广相里光子的坐标速度意义不大, 与 c 也不一什么关系. 定义称为类光曲线. $ds=0$, 解得光的运动路径.

还有一个“时间的概念, 如史瓦西时空中坐标时相同点可能固有时不同. 固有时是最有实在的物理意义的, 其它坐标时都是一种描述. 类似艾诺钟. 史瓦西看来 $t \rightarrow \infty$ 无限靠近视界, 但这并不代表“永远”. 在固有时里就是一个有限值. 只不过史瓦西坐标不能描述 $\leq 2M$ 的行为. 需要变换消除和延拓来考虑.

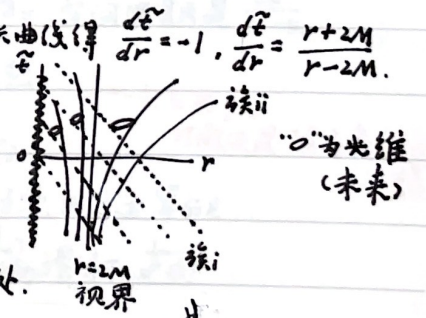


内向爱丁顿坐标系 $\tilde{t} = t + r^* - r = t + 2M \ln | \frac{t}{2M} - 1 |$

$ds^2 = -(1 - \frac{2M}{r}) d\tilde{t}^2 + \frac{4M}{r} d\tilde{t} dr + (1 + \frac{2M}{r}) dr^2$ 类光曲线得 $\frac{d\tilde{t}}{dr} = -1, \frac{d\tilde{t}}{dr} = \frac{r+2M}{r-2M}$

简要描述: 探险者若在视界前开动发动机制止下落.

仍可返回. 一旦走至视界, (并无特殊感觉), 光锥反转, 他无法再向外界传递信息, 更无法逃出. 终落入奇点. 而在外部观者看来, 收到的永远都是视界外发出的光, 会感觉探险者越走越慢, 仿佛逐渐“冻结”在视界处.



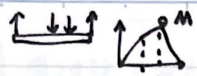
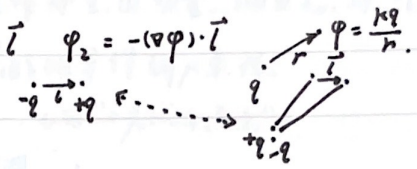
附: 史瓦西坐标只有四区中的一个. 爱丁顿坐标能覆盖 AB = 区.

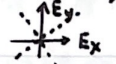
> 史瓦西黑洞熵 $S = \frac{4\pi K G}{\hbar c} M^2$. 温度 $T = \frac{\hbar c^3}{8\pi K G M} \propto \frac{1}{M}$.

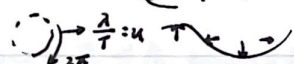
直接与其质量相联系. 其通过热辐射 $P = 4\pi r_s^2 \cdot \sigma (T - T_0)^4$ 蒸发能量. (可能稳定) 宇宙背景温度



0. 蔡恩刷题班

009 扭矩图  浸渐 $A^2 \omega = \omega_{max} \cos \omega t$
 "偶板" \leftrightarrow "梯度" $\cdot \frac{L}{2} \rightarrow \frac{L}{2} \rightarrow q$ $\varphi_4 = -(\nabla \varphi_2) \cdot \vec{l}$ $\varphi_2 = -(\nabla \varphi) \cdot \vec{l}$
 这方法比较快. 

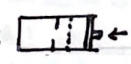
质量任意单位是 MeV/c^2 . 注意这个巨大的量级.
 061 偏振鬼影  $\delta + \frac{\pi}{2}$ 叠加 磁荷解电流 / 电流线正和角 黑洞广角
 注意绳连带动力差.  影响 T. 应直接在惯量中 $J = \dots + mr^2$.
 天体间的换系.  要求大小, 亦需方向. 大小的余弦定理一直在.

010 水波  $\frac{A}{T} = \omega$ 潮汐锁定 L 守恒 $\odot + M$ 题目会说: 假设位于 \odot 公转速度正前方... 这样可以确定夹角.

062 扩散 (输运过程) $\frac{dN}{dt} = D \cdot \frac{dn}{dx}$ ($D \cdot \nabla n$) 电势展开 变元概率分布
 冲击水平但可能由地面给有竖直速度. 常为异形因 ω 而不得不让 \vec{v} 抬升. 

连接: 铰 | V 方向, 只固定了一个点. 光滑面 | 只有上面的冲量. 固定 | 可以提供冲量.
 可以给任意方向冲量. 接触点只有 // 速度. 冲量矩.
 "铰" 杆接 | 轻杆: 二力, 只沿杆. 铰接 | 无法传递力矩. 视为多点受力.
 非轻杆: 能沿切向冲量. 但可以在碰撞时传递(任意方向的)力和冲量.
 刚度因素: 一个物体, 能给予力矩.

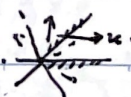
011 平面 n 问题 传输线  
 注意拍频是和差化积次的两倍. $2 \cos \frac{k_1+k_2}{2} x \cos \frac{k_1-k_2}{2} x$ 空间周期是 $\frac{2\pi}{k_1-k_2}$.

"留存部分列方程" \times  最后右边剩下部分仍为绝热. 不要使用. 此部分存疑. 可能还是留存部分列稳.
 最稳的还是微元过程积分 (dn 带去能量)
 辐射中心 "中心" 对称中心: 四根 $\perp E$ 无电动势, 而六边等分 E.

063 场线方程 \rightarrow  天体电磁场  磁场滑杆 
 车有两轮, $f = \mu mg$ 需平方, 且切向 $f_c = ma$ 只有主动轮产生.

互动轨道拐弯是一种"碰撞", 没有以保持不变. 需要地系能量动量重新算!
 注意物点均匀发光不代表像点. "题图常况" "连续光滑小圆弧" 但仍守恒
 均匀发光. 题目若问亮度 \pm 就是原本一例.

光用若简单不必作物像与光瞳. 建议直接画边界共线分析.

012 光影  抛刀包络 
 带反射镜的多普勒 (高速多普勒) 最好作出反射像. 

□ 考试总结小点 (一)

CPHO-5

摩擦碰撞要讨论在 t_f 即 μ 时, 不必列整体动量, 角动量, 细分为 I_n, I_f , 即列冲量定理
 再择条件代之 } $\mu I_n = I_f$ 不要使用, 令两解相等得到 μ 条件.
 $w_{1,r} = -v_c + \omega r_2$ (见“刚体a”) (见“a”考试总结)

三极管, 晶体管自身存在台压, 不要走其支路过, $k \downarrow V_{ce}$

$n < 0$ 为反向耦合, 注意判断和讨论是否有情以存在.

$ds = \frac{d\omega}{T}$, α 与 m_c 相关, 使用需假物过程 T 不变, 注入能量.

背景辐射注入 $5.6T^4$

CPHO-52

外界做功不要考虑轴如何输入, 反正就是动能变化 (见“刚体: 远力学...”)

取平均要谨慎: $\overline{v} = 0$ 不代表 $\overline{v^2} = 0$, 离心势能, 同面惯量不要等效在质心等等.

近似要谨慎!: $\frac{0 + \frac{0^2}{2}}{0 + \frac{0^2}{2}}$ 多分数要注意, 尤其是分子分母消去一个小量时务必检查展阶数.
 $\frac{0^2}{2 \cdot 0}, \frac{0^2}{0 \cdot 2}$ 注意为西瓦律导致的 $0 \cdot 2$ 和普通的 $1 \cdot 1$ 形都得到 $2'$.

$\sqrt{\frac{3RT}{M}}$ 中的 M 注意要成 kg/mol ! 正常应该速度在百米量级的!

立体角占比就是 $\frac{\sin\theta d\theta d\phi}{4\pi}$, 不要 = 三维混乱思考.

2021.5 谐振杯

虚部: 衰减.

折射率, 电导率等等都可以复数 (复数, 高频), 凡是振荡先用复数解, 再不济最后也是取模.
 带值的复数解题 (如交流电) 可以用 Casio 复数模式直接化 $rc\theta$ 形, 包括输入也可以. (反映相移信息)

模型效果 $\frac{d}{dt} \int \rho \mathbf{v} \cdot d\mathbf{V} = \frac{d}{dt} \int \rho \mathbf{v} \cdot \mathbf{v} \cdot d\mathbf{V} = \frac{d}{dt} \int \rho \mathbf{v} \cdot \mathbf{v} \cdot d\mathbf{V} \leftarrow I = \int \mathbf{v} \cdot \frac{dD}{dt} \Rightarrow D = \int \mathbf{v} \cdot \mathbf{E}, \mathbf{E}_r = \dots$

不要随意微电磁场的换系, 如果是非相对论的话与地系直接做差别不大.

CPHO-54

整流电路



注意 = 极管正向导通电压, 就是导通压降. (示波)

在稳态且 $R \gg \omega C$ 时 $U_{out} = \overline{U_{in}}$ (直流成分)

RC 滤波电路 $i_{in} \rightarrow I_{out}$ (或者, $RC \gg \omega C$, 相当于电容? 基本不变, 无交流性)

CPHO-5

求转角 θ 时的速度: $P \frac{d\theta}{dt} = F_L \cdot \frac{dP}{dt} = -F_{||} \Rightarrow \frac{dP}{P} = -\frac{F_{||}}{F_L} d\theta$ 积求.
 (解析型运动题) (如洛伦兹力 qvB) (如阻力 $-kv$)

此类题很容易破列的切表微分方程卷进去, 要保持直观清醒的思维.

灵活求和 \leftarrow 尤其是涉及到转角时, 不要只盯着 x, y .

四补问题

一: 凑 = (定), 对另一个讨论找 (补)

二分定则 (一定是补的) \rightarrow 对补 F 计, 对补 M.

取出一般态. (若为持续性, 最好抓中间某态补而非正异的初态等)



考试总结小点 (2)

磁联考

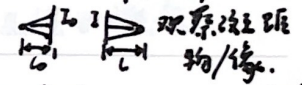
- 碰撞题中若问什么(恰好)没有作用力, 不要忘记打击中心 $\frac{2}{3}l$.
- 相对论里光线夹角 θ , 有 $\sin\theta$ 什么的尽量用变换写, 不要什么 $\sin\theta = \sqrt{1-\cos^2\theta}$ 然后就不敢干.
- 做合理近似, 尤其是大型生活化模型时. 何谓合理? 近似出来解做验证, 如我忽略了船倾角, 最后验证倾角. 题要求两位有效数字可以, 但注意近似不是忽略. 你令 $\theta=0$ 去解就不对了, 虽然都摆成水平去解. (这个影响可不可观就不做估计了)
- 热一涉及耗子流, 不一定都要微元过程, 直接列能量守恒多半都可解.

2021.5 磁联考. 补

几何光学光阑题, 只需要清晰的草稿就可以了. 注意, 光强是单位面积上的光量, 可能要以光斑半径². 既可以逐步算, 也可以利用物像亮度不变的结论: (这里 I 指光强)

$$B_1 = B_2 \Rightarrow \frac{I_0 \cdot l_0^2}{S_0 \cdot \pi r_0^2} = \frac{I \cdot l^2}{S \cdot \pi r^2} \Rightarrow I = \frac{l_0^2}{l^2} \cdot v^2 I_0$$

其中 v 为横向放大率.

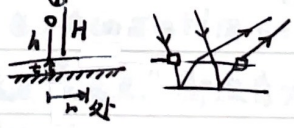
如果还要算光斑半径, 反正要逐步, 这种方法也不见得优秀. l_0 为  观察点距物/像.

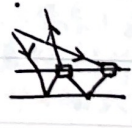
天体里火箭喷射要读题, 基本上应该是指连续性的动量定理. 结论直接记 $\Delta v = u \ln \frac{m_0}{m}$. u 是相对喷速, 至于正负号自判即可.

另一个结论是近远地点转换: $v_2 = \frac{2GM}{r_1 v_1} - v_1$. 

解析型极坐标型运动题 (以 $r = Ae^{r\theta}$ 为例), 已知轨道的, 直接求导 $\begin{cases} a_r = \ddot{r} - r\dot{\theta}^2 \\ a_\theta = r\ddot{\theta} + 2\dot{r}\dot{\theta} \end{cases}$ 列出. 由 F_r, F_θ 可直接解出 θ^2 和 θ 的双反方程组, F_r, F_θ 本身也能化成 $F_r(\omega), F_\theta(\omega)$, 便可直接解出 γ . 即力的性质决定了螺线的特性指数, 不过这也需要合适的初态进入 (速度与径向夹 γ)

对数螺线结论: 若力始终与径向夹固定角且为 αr^k 力, 则可能成对数螺线.

模型积累: 散斑干涉  $2\pi t(\cos\alpha - \cos\beta) \Rightarrow \frac{t}{r^2}(\frac{1}{r^2} - \frac{1}{r^2})$

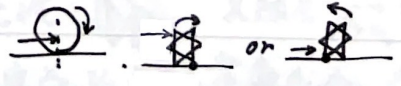
(一折一散 (-反))  $\Rightarrow \frac{t}{r^2} r^2 (\frac{1}{r^2} + \frac{1}{r^2})^2$

PH0-53

地面上, $\vec{I}_2(\cdot)$ 在没有支持力冲量时, 就没有摩擦力冲量. ("足够大"也不一定代表有) 注意支点大多会滑, 绝法(不滑)有条件.

可以比对一下"刷题班 062", 厘清一下思路: 对质心而言, 物体应该转起来.

但物体的形态即接触点, 决定了质心应如何运动(方向). 接触点(即旋转支点)如果在质心正下方, 质心没有竖直速度, 也不会有竖直冲量 I_v . 而如六芒形, 则存在 I_v, I_f , 给之 μ , 就变成了"其一条件"题.



□ 考试总结小点 (2)

· 气泡肥皂泡和膜表面张力附加压强极可能是 $\frac{4\sigma}{r}$. 注意看看是液滴还是泡上一层膜.

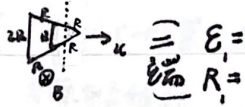
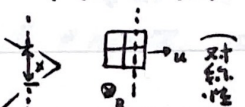
· 考试遇到 $(t) = (t+\delta)^2$ 一阶对二阶等情况, 大胆猜大胆略 ($t \sim \delta^2$)

○ 小结论: 球体下压 $\left(\frac{\sigma}{r}\right)$ δ -阶, 半径改变是二阶.

· 考试题中碰到给出 k_B . 不知何用时想想 } 玻尔兹曼分布? ← 若能?
(比如非热-气体题)

· 极化 { 位移 σ_{ind}
取向 $\vec{P} \rightarrow \vec{E}$ 不同极化产生的效果 ($\vec{P} \rightarrow \vec{E}$) 只需相加.
畸变 (电子L可略)

· 计算吸热时, 算完做功(面积)后不要忘记加内能差!

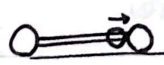
· 出入石磁场的  $\vec{E}_i = B \times \vec{v}$ $R_i = \frac{1}{5} R$  (对称性) (基尔霍夫)

· 引力压强 P 有 $\frac{dP}{dr} = -\rho g$. g 为引力场强 $= \frac{GM}{R^2}$. 注意体会这里压强的概念.

8 质心与质心

> 地面上 (2): 总结一下, 当未冲击过质心线上时且接触点不在质心正下方时, 存在 L_n 的冲击

理解上, 冲击当作一个力的话, 若物体平衡需要 N , 则会存在 L_n .

还有一个例子:  杆会抬起. (足够大的粗糙地面)

这个实际上应为在段时间冲击完后, 整个的水平移动速度会改变 \uparrow 产生. f 的作用会 (满足一定条件下) 使之向上翻转. 即使相对论性也有 γ, ν 不变 (没有 E 即 V 时)

· 凡是匀强磁场... (尤其是解析运动的题, 留应有能量守恒/不做功.)

○ 小结论: 电偶极子场在 r 方向可以利用 $E = \frac{1}{4\pi\epsilon_0} \frac{2q}{r^3}$ 和径向半直接解析出来 $r(t)$ (包括解析电场题, 不要忘了 $\frac{1}{2}mv^2 + q\phi = \text{const}$)

· "能够到达, 转过" "最近最远点" 都没有必要解出 $r(t), \phi(t)$ 什么的, 只需要看 $\phi(r, \theta)$ 的式子 \rightarrow 能够保持不为零的 r, ϕ .

9 博知识 (孟策)

· 喇叭磁场环振, 若产生电动势 \mathcal{E} 是交变的, 则可直接应用 $Z = R + i\omega L + \frac{1}{i\omega C}$ 得到 $\vec{I} = \frac{\mathcal{E}}{Z}$. $F = B_r \cdot 2\pi r I$ $\vec{F} = (\dots) \cdot \vec{I}_l = (\dots) \cdot \frac{1}{2} \text{Re}(\vec{I} \vec{I}^*)$. 如环切开一空隙, 相当子回路里一电容.

· 各情况临界过渡:  欠阻尼 \rightarrow 临界阻尼 \rightarrow 过阻尼

注意应由 x_0, v_0 确定常数 A_1, A_2 . $\rho \rightarrow \omega_0$ 时 A_1, A_2 也会极端, 需要其参与消解

□ 考试总结小点 (四)

· 矢量分解证明题 (常见积为型) i 矢量公式 ii 全微分 ϕ 的 $d(\dots)$

iii 直观意义 $d\Omega, ds$ 的 ∇ iv 虚功式 $\delta W = \phi dF \cdot \delta F, \delta F = \delta \vec{0} \times F \dots$

.. 模型积累: 磁致旋光



$\beta = \gamma \cdot B d$ 维系常数 $\frac{\omega}{\epsilon} \gamma = \frac{\gamma \epsilon^2}{2c \epsilon_0 m^2 n (\omega_0^2 - \omega^2)}$

线偏由左右旋叠和, 左右旋相差 ($n_+ \neq n_-$) 引起偏转.

$$\begin{cases} m\ddot{x} + e\dot{y}B + kx = -eE_x \\ m\ddot{y} - e\dot{x}B + ky = -eE_y \end{cases}$$
 令 $z = x + iy \rightarrow E_x + iE_y = E_+ e^{i\omega t}$ 左旋
 $z = x - iy \rightarrow E_x - iE_y = E_- e^{i\omega t}$ 右旋

只考虑受迫振功项, 时间系数 $e^{i\omega t}$ (附加谐振)

$\omega = \frac{eB}{m} \cdot \omega_0 = \sqrt{\frac{k}{m}}$ 得

$z_+ = \frac{-\frac{e}{m} E_+}{\omega_0^2 - \omega^2 - \omega \Omega} \quad z_- = \frac{-\frac{e}{m} E_-}{\omega_0^2 - \omega^2 + \omega \Omega}$

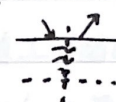
折射率由电极化入手.

$\vec{P} = \epsilon_0 \cdot (-e) \vec{s} \Rightarrow \chi_e \cdot \vec{E} \Rightarrow n_+ = \sqrt{\epsilon_+}, n_- = \sqrt{\epsilon_-}$ 得到相差.
单原子占体积

古斯-汉森位移

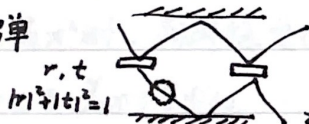


$k \cos \theta \frac{d\phi}{d\theta}$ 全反射 / 相移



隐失波透入一定深度 $e^{-\kappa z}$

光子炸弹



1 $|r| \neq |t|$ 时, 不能消光
可让 2 处光程上差 $\pm \pi$ 消光.
2 则 $|r|$ 为 挑出概率, $|t|^2$ 炸了.

重复 ∞ 后 $P = \frac{|r|^2}{1 + |r|^2}$

猿辅导

解折运动方程 / x, y 耦合时

① 有心力场式 $K \frac{x}{(x^2 + y^2)^{3/2}} = \ddot{x}$

- ① 洛伦兹式 \rightarrow 凑全微分 (证明功量...) (以及“洛式振功”)
 - ② 摩擦式 \rightarrow 可以设 $v \cdot \vec{0}$ 表方向, 然后 $\dot{v} / v \dot{0}$ (也可 $(v \cos \theta) / (v \sin \theta)$)
 - ③ 相对论式 \rightarrow 用 P, E! $(mc^2)^2 = (m_0 c^2)^2 + c^2 (p_x^2 + p_y^2)$ \rightarrow 即自然坐标系 [经典: $\vec{r} + \vec{B}$]
- 若求轨道, 可以 $\frac{dy}{dx} = \frac{p_y}{p_x} (\frac{\dot{y}}{\dot{x}})$ $mc^2 + V = E_0, p_x = \dots, p_y = \dots$ \rightarrow 若凑不成 (即出现带 \pm) 则套 E... (舍去此多解)

$\frac{dy}{\sin \theta} \cdot \frac{dx}{\cos \theta} \text{ 等 } \leftarrow \frac{ds}{d\theta} = \frac{v}{\dot{\theta}}$ 等解出.

④ 猎狗式 $\rightarrow \tan \theta = \frac{dy}{dx}$ 代入 $ds = \sqrt{1 + y'^2} dx$

· 磁场中存在圆切割时, 注意 $\vec{\omega} \times \vec{r}$ 次可能会引起的不均匀分布产生的影响 (尽管研究整体在中心时没有), 例如:



$I \times \vec{I}_0$ 安培力存在力矩! 影响转动.

· 换转系研究 \square 时, 注意存在“惯性矩” $-\vec{\omega} \times \vec{L}$, 以维持 $\vec{\omega}$ 转动.

· 碰撞解的互易 (叙述“...回到初态 v_0 ”) $x_A \rightleftharpoons x_B$.

· 速度 v 生电而生磁的, $B \ll E$ ($c \gg v$) 时, 可略去 B 的结性影响. 如 产生极化, 极化主动力可不计 $\vec{v} \times \vec{B}$.

□ 考试总结小点 (五)

> 光帆飞船: 在 I 光强下推动加速, i) 地尔考察收光要求之以 $1 \pm \beta$. ii) 黑帆: $IA(1-\beta) = \frac{d(\gamma mc^2)}{dt}$, $\frac{IA(1-\beta)}{c} = \frac{d(\gamma \beta mc)}{dt} \rightarrow \gamma m(1-\beta) = \text{const} = m_0$ (追寻守恒量) 白帆: 静质量不增加, 仅 $\frac{IA(1-\beta)}{c} (1 + \frac{1-\beta}{1+\beta}) = \frac{d(\gamma \beta m_0 c)}{dt}$ 没有 m_0 !

· 视超光速: $0 = \frac{ct_1}{\alpha} - \frac{ct_2}{\beta} - \frac{v}{c} \int dt$ $ct_1 = ct_2 + vdt \cos \alpha$
 观察到 $ct_2 \dots \int v dt$ $dT = dt + t_2 - t_1 = (1 - \frac{v \cos \alpha}{c}) dt$
 转动超过光速.

$v_0 = \frac{v dt \sin \alpha}{dT} = \frac{v \sin \alpha}{c - v \cos \alpha} \cdot c > c$

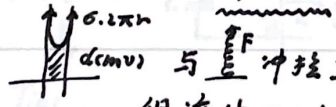
12. 竞赛题 + 苏同珍

- 解折型运动学题, 若已知轨道并且是“套在/贴着轨道...”, 注意存在 N_n , $\beta = 2$ 并不方便, 不如关注 $E, L \rightarrow v$ 即 s 随位置变量的函数, 从而得到 $S(s)$.
- 设 U 时注意是否 $\omega = -\dot{\phi}$! (比如求 β 时) 尽量设的好一点. 类似的还有暂态电路里 $i = -\dot{q}$!
- 求杆环对其上物体 (通常套着) 作用力时, 不要忘记是否有上平面的力! 如 $F_c = 2mv\omega$. 重力, 支持力等.
- V 函数里只有 x^2 时, 判断稳定性可以 $\frac{d^2V}{dx^2}$, 但求振功一定要记得是 $\frac{d^2V}{dx^2}$! 所以最好不要那么干, 差不了多少的.

· 表面势能 $U \rightarrow \begin{cases} dU = \sigma ds = 8\pi r dr \cdot \sigma & \Delta p = \frac{3\sigma}{r} \\ dU = 4\pi r^2 dr \cdot \Delta p \end{cases}$

· 计算气球浮力: (10) 原平行, 则 $F = \rho_0 \mu_{\text{air}} g$ (即无论什么气体, 状态相同 ρ 都相同)
 这种“原物替代”的方法很常见. 再如玻尔分布的转筒里, 又放入 $N_2 \ll N_1$ (各 σ) 的 V 的小球, 其分布由 2 势能 $\leftarrow m_2 \omega^2 r - n_1 q_1 m_1 v \omega^2 r$ 标为, 再玻尔分布.

.. 模型积累:



与 $\int F$ 冲拉类似, 会绕平衡位置上下振动. 但液体可以向上传递冲击力, 故下行仍是 $\frac{dcmv}{dt}$, 所以落回 0. 考虑黏滞力, 最终耗散 $Q = \sigma \cdot 2\pi r \cdot h_0 - mg \cdot \frac{h_0}{2}$.

· 不要往 Const 身上消变量!

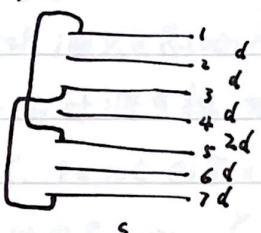
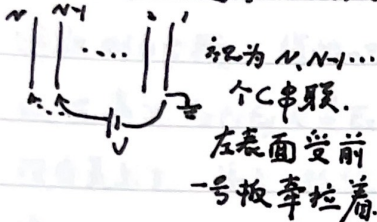
· 内穿简谐: 求解出态 ① 设极轴方向 φ , 写出 $v_{x0}(\varphi), v_{y0}(\varphi) \rightarrow v_{xm}, v_{ym}$. 利用如 y 至 \max 而 x 至 0 的相位关系 ($\sin^{-1}(\cdot) = \cos^{-1}(\cdot)$) 等) ② 以初态建 x, y 轴, 写出 $x = \dots, y = \dots$, 代入 $x^2 + y^2 = R^2$ 解. ③ (题目之前有铺垫的) L, E 算出 v_{\min}, v_{\max} . 设其方向 φ .

· 一维势能曲线题: ① 要先判断的出是一维/二维势曲题. 写出 $\varphi(x)$. (2维+T联系. 35届复磁阱) ② 大致描绘图样, 可能借助于 φ' 即 F . ③ “能否越过”题即考察峰顶 φ_m . 有时可能绘图 (即与 φ/F) 麻烦, 但可以直观判出平衡点, 写出其 φ_m . 运动范围即拉线. ④ 振动 $\omega \varphi$.

□ 考试总结小点

· 板板相关: I. 分析各表面电量/受力 → 不复杂时直接设 $+q_1, -q_1, +q_2, -q_2 \dots$ 解.

II. 有时几问题等可以引入“电容视角”, 口诀: “一块板, 两个面, 拆开画, 连通即节点”. 如



求 4, 6 间等效电容.

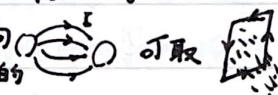
4, 6 间加 $-V$, 5 板受力.



可等效作 R, 得 $R_{总} \Rightarrow C = \frac{16 \epsilon_0 S}{d}$
基尔霍夫解 $I_1 \sim I_2$, 即 $Q_1 \sim Q_2$.

已知 I 求磁场 { 毕萨.

环路. 挑选技巧: 含方向 平移延伸的



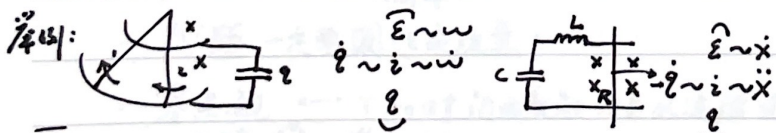
可取 左右二段相同.

· 因无电阻略去并联部分时, 想一想并联支路上是否有电动势? (如感生)

· 多元微分方程组难解, 发现需要积分为作代换的, 建议把前面做了微分的式子还原回来, 用更低阶的量 (如 q) 作主元. 总之, 线性式做代换, 微分方程式用来最终解.

· 不要总是企图先解全程再代末态, 尤其是题目没有正面强问 $f(t)$ 时. 除非对求解有十足把握, 一旦卡壳应当先停手分析末态 (如观情况). 因为它很可能是只需做微分微分方程式全过程的一次积分.

· 较强情景性的屏结性问题, 可以画物理量联系图. 帮助理清求解思路. 并快速判定一次积分上的关联. Δ “1, 2 减法”题可能会消去一些其他量的, 自己要留心.



★ 相对论时空 Tip:

▷ 两系是否有对齐? { 有 — 常规. 标事件 (定点) (x_A, t_A) (x'_A, t'_A) 做变换, x/t 统一不可.
无 — $\Delta x, \Delta t$ 形式计算; 或是需修零点 Δ_1, Δ_2 ; 或是属于速度类光多题...

▷ “S' 里还有动”的, 一定要注意变换时 $t; t'$ 导致的位移差值! 列清运动方程 $x'(t)/x(t)$ 等. 准备双向变换代入解 (如 t).

还可以直接 — 带 0 等 — 匀速 — 加速对地. (注意切始位置!)

▷ “从甲看来...” 只要两事件不在甲身上发生 (或同地), 就不要钟慢! 只缩用的较频繁. 但也要看是不是有

▷ 时空图 的使用条件 { 单维 做的时候帮助 一旦非直线, 无益

▷ 表述: I. “S' 系则得相对... 速度” — “伽利略” — 一个系里是不动的! 型的相对

□ 考试总结小点, etc

3 好发差

> 再论“介质电子”模型: 考察外加E受迫振动产生的复位移. 在有阻尼- ν 时 (常为导体, 碰撞 ω), $\tilde{A} = \frac{E_0}{\omega + i\nu}$, $\nu = \sqrt{\nu_0}$ 会带虚部, 表现出 $i\omega\nu$ 的衰减; $e^{-i\omega t}$, $e^{i\omega t}$ 的选取形名大雅, 线性-阶次 $i\omega$ 只会影响 ν 虚部, 在 $i\omega\nu$ 里又乘回来了, 磁场旋转的-阶项在表达 $E_x + iE_y$ 还是 $E_x - iE_y$ 时将互耦-阶次乘回来, 也是一样的; 辐射寻求 $\tilde{v} \cdot \tilde{v}^*$ 更没有关系了. 总之, 抓住 \tilde{A} , $P = \nu(-e)\tilde{A} = \nu_0(\epsilon_0 - 1)E$ 即可, e 带负号避免出错. 最后一个常见的近似, 如 $\frac{\nu}{m_0\omega} \ll 1$ (ω 临界吸收), $\frac{\nu}{m_0\omega} \gg 1$ (透射深度)

.. 模型积累: ^(电子) 导体因之自由电子受(如感生电场)力加速, 在碰撞后遵循角动量. 动量守恒带功(碰撞)整个导体, 则能量即有致热损耗.

表面聚力 \rightarrow 向内的力迅速衰减以至可视为 \int_0^∞ , 从而产生一表面与内部的能量差. 有时补偿后会多出动能, 形成压强.



稳定: 内部热功 $\frac{1}{2}kT$ 补偿升至表面的耗散

双表面: 两物都会绝力. 平衡态在 $(\varphi_1 + \varphi_2)_{min}$ (两物质交界)

$\Delta E \triangleright$ 虚构平衡/互易性构造

· “N很大...” 很可能是求和改为积分 (求和多半求不了...), 较特异的衍射积分,

$\int e^{ikc(\dots)}$ 老实写即可, 通常只记 Casio 积-特定 θ 处. \triangleright 如果要描述合成总振幅 (每个为A)

即表达出衍射里的那个 α , 就计入积分元内单元数, 如 $\int \frac{N}{2\pi} d\varphi \cdot A \cdot (\dots)$. 当然, 亦可先算分布, 再由正射时简单的加和乘上去, 如 $\frac{NA}{2} \cdot (\dots)$

· N匝一定要圈起来注意!

· 零点能 $\leftarrow T \rightarrow 0$ 时自由度能均分从连续变为分立, $\frac{1}{2}k_B\omega + nk_B\omega$, ω 为特征频率

> 车: 通常后轮为主动轮, 绝有一力矩 M_0 . 对车整体分析而言, 其是内力. 前后两轮状态不同 N_1, f_1, N_2, f_2 , 相应对地面 μ 有一定要求.

① 能否越过

\rightarrow 临界为 $(\alpha, \beta \rightarrow 0)$ $\begin{cases} \sum F_x = 0 \\ \sum F_y = 0 \\ \sum M = 0 \end{cases} \Rightarrow$ 解 M_0, M_s 等. 有时致效 \leftarrow 意“由车外的一对力偶施加”那么就 是外力矩了.

② 启动加速

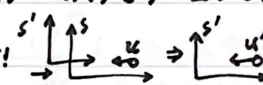
\rightarrow (已知轮I) 到 $\alpha, \beta, a = \beta R \Rightarrow$ 解 M_s, M_0 等. 可能讨论的: I. 前后轮 μ_s 条件 II. $N_2 \geq 0$ 前轮不抬起

+ 角动量定理 (对C 或对地 (f, N, a等) 接触点都不错)

□ 考试总结小点

> 连接: 杆 { 非轻杆 m, l . 一个物体分析. (杆上受拉  也有 F_c , 但因连接而不存在 M)
 注意不可压缩: 沿杆同速! 轻杆 { 固定 F_n, F_c, M . 视作一整体解 换为冲量和
 铰接 二力杆 共行 只沿杆 \checkmark 时不再 冲量矩亦同.
 绳 可视为铰接 (端接式, 不给 M , 故无 F_c , 二力杆) 传递 I_n, I_c, J

· 诸如 $a \ll 1$ 等条件建议圈起, 在研究如 $\cos \varphi$ 的二次函数极值点, $\cos \varphi = \frac{1}{2a}$ 应及时舍去, 易忘
 · 所张角... 为全角: 

· 用洛伦兹变换时一定注意是事件! $(X, t) \rightarrow (X', t')$ 在 $t=0$ 把 x 变到 x' , 一定要再考察一下 t' . 尤其是把运动的东西换到另一个运动系里时! 
 · 注意波表示相差时, 请一定沿波写 k, ω , 不是单个分量 k_x, ω 就可以的.

· 题给粒子转速端相对论时 (如几 GeV 的电子), 一定要留印 $v \approx c, \gamma \gg 1$ 的近似手

> 萨格纳干涉仪 / 转盘参考系:

① 地系 $2\pi r$. 顺 $- \omega r$. 逆 $+ \omega r$.  $t = \frac{2\pi r}{1 \pm \omega r}$
 ② 转系 $ds^2 = -dt^2 + dr^2 + dz^2 + r^2 d\varphi^2$ (柱状) $\xrightarrow{\varphi = \varphi + \omega t}$ $ds^2 = -(1 - \omega^2 r^2) dt^2 + dr^2 + dz^2 + r^2 d\varphi^2 + 2\omega r^2 d\varphi dt$
 可见, 令 $ds^2 = 0$ 得 $\frac{d\varphi}{dt} = \pm \frac{1}{r} - \omega$. 本征时 $-dt^2 = -(1 - \omega^2 r^2) dt^2$ 即 $dr = \frac{dt}{\gamma}$
 $\frac{d\varphi}{dt} = \frac{\frac{1}{r} - \omega}{\sqrt{1 - \omega^2 r^2}} / \frac{-(1 + \omega)}{\sqrt{1 - \omega^2 r^2}}$. 转盘本征长度 $\int dl \xrightarrow{\gamma} \frac{2\pi r}{\sqrt{1 - \omega^2 r^2}}$. 光在此系中坐标(线)速度为 $\xrightarrow{\gamma} \frac{1 - \omega r}{1 - \omega^2 r^2} / \frac{-(1 + \omega)}{\sqrt{1 - \omega^2 r^2}}$
 (涉及时空几何, 略) 可得到与 ① 相同的用时.

光程差即为 $\frac{2\pi}{\lambda_0} c(t_+ - t_-)$. 亦可引入等效折射率理解: 若是 $3D$ 那样带个 n , 就依它的. 一真意 用 ① 把 1 改为 $\frac{1 + \omega r}{1 + \frac{\omega r}{n}} / \frac{1 - \omega r}{1 - \frac{\omega r}{n}}$ 得 t_+, t_- .

· 相对论碰撞 (物块型): 前后若粘在一起, 静质量变化可用 $E_{n+1}^2 - E_n^2 = M_{nn}^2 c^4 - M_n^2 c^4$
 受恒力 F 作用时: ① $v = \frac{pc}{E}$ 用 p, E 的视角考察. 常见手段: $F = \frac{dp}{dx} \cdot \frac{dx}{dt} \Rightarrow FE dx = p dp c^2$

▷ 充分 利用静质量的物理意义! (不推荐)

② 伦德勒结论. 速度为 v 时, 其在标准形下点为 $\begin{cases} x = \frac{c}{a} \\ t = \frac{v\beta}{a} \end{cases}$. 常见“瞬变造成积累突变”的: I. 快速增大/减小磁场, 其感生电场对电荷冲量为 $I = \frac{B\pi r}{2}$

五.

▷ 理解 $\begin{cases} W = \Delta E_k + Q \\ W = v_0 J = v_0 qD \end{cases}$ (克服 f)
 传送带结论:  (定) 物体等一直直到最终共速, 传送带做的功 $W = 2\Delta E_k$. * - 作用力与反作用力 功与参考系有关

· 电机相关: I. 单元的 $I^2 r$ 为热损耗, $E I - I^2 r$ 为外输出功率 (负载 + 空转) 功与参考系有关
 II. 传送带等存在外界热损, 物体动能 $\frac{1}{2} m v^2$, 做功 $m v^2$ 不要代错了! 取 v_0 未; 有 $Q = \Delta E_k$

考试总结小点(九)

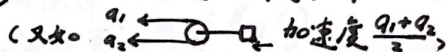


(v的影响如下, E也从x平.y平.z转考虑)

> 磁场环运动: 拥有三个自由度的运动模式 (一定不要忘了一个方向!) x, y, z 转.

通常列牛二 (x, y) 和力矩 (z) 即可, 注意湊全微分 (守恒量), 像电偶极子等不可直接矢量导.

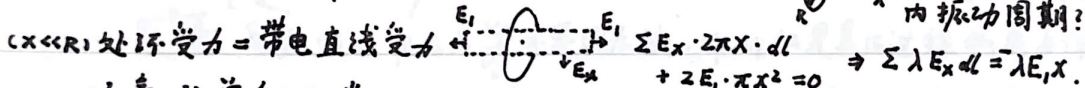
注意绳对折的“均半” → 由两头决定. $\frac{u}{2}$ 转过 $\frac{u+v}{2} dt$ 段, 折点右推 $\frac{u-v}{2} dt$.



注意小圆环在外部大圆环内的磁通: $\phi_{净} = \text{大圆环外部的 } \phi$. 即“注意内全穿”. 如果 $R \gg r$, 那么 r 环 L 的感生电场 $E_{感}$ 即可求 (偶极子在远方 B)

模型积累: P_1, P_2 导热层 → 摩擦做功会全部传给右室.

静电静磁里牛三的使用更为突出. 举例: 求环在竖直平面内振动周期: $(x \ll R)$ 处环受力 = 带电直线受力 $\sum E_x \cdot 2\pi x \cdot dl \Rightarrow \sum \lambda E_x dl = \lambda E_x x$.



注意非单射函数在问及值域内分布情况时, 需要加和所有定义域的取值.

单位时间进入 (即影方向) 个数为 λ 需要读语境和模型, 如: 炸弹碎片分布 $\sigma(x)$ 对 θ 有两个!

未明确的情况下应先试逐个影方向 $T = \frac{1}{\lambda}$, 不应直接列 λdt 的微分方程 (默认了 $T \ll dt$)

求绳拉力 \vec{v} 一般取绳挂点 (所在物) 为系, 更易分析.

同时注意小球做的真正运动是什么, 不一定是以挂点为中心的圆周运动!



15. 读. 用系弦定理合成时注意是“相对速度”还是“换系叠加”!

> 交叉点 v, a 求解思想: (求导除外) 设一解 z, 1号物系和2号物系中相对速度的方向已知, 等于减少了 z 个未知量, 即解出来了. v, a 都是一般的换系路子, 可以设 a_{z1}, a_{z2} , 也可以 (如果简单) 直接画矢量图取直线交点. 如:

切接点 v, a 求解思想: P_1, P_2 空间里的切接点.

纯滚情形: 两物接触点 v_1, v_2 速度完全一致, → 关联. (更严格, 不一定都能实现)

若求 P 点速度, 取 P_1, P_2 系, 都是一个切向相对速度, 设法设一解 z, 但纯滚有角位移关系 (通常是这边转角跟那个转角相同中等: $\omega_1 = \omega_2$)

(非纯滚情形: v_1 一致, 若求 P 点速度, 完全等同于“交叉点”, 设一解 z. $v_{相} = v_{物} \Delta$ 相对!!)

另外, P 点速度还可以更直观的视角去求, 即其“强行因素”定下的轨道位形.

a. 把 \vec{v} 形态的参量代以 θ, ω , 然后求导解决. 如果可行的话.

□ 考试总结小点中

否则运动学办法: 首先物体不同高, a_n 一致, 要注意, a_n 是表征物体位形的点, 如

(非纯滚情形: 与交叉点无异, 设一解二, 只不过这里 a_1, a_2 不是任取的. \Rightarrow 关联. ω, v, P P_1 的 $a_n \neq P_2$ 的 a_n 而 O 的 $a_n = P_2$ 的 a_n)

纯滚情形: 可以解出 a_1, a_2 . 利用 a_n 一致和纯滚条件 (有一个关联.)

□ 纯滚条件使用需要换系, 换转系, 考察 \vec{v} 可以帮助你验证前面 \vec{v} 相关的算对了没有.

可换系注意: I. 平动 (P_1 点 \vec{a}_{P_1}) 加速度, 转系加速度 (当然, 或者直接这么算) $(\omega_1^2 r_1 - 2\omega_1 \times \vec{v}_1 - \beta_1 \times r_1)$ 一次都不

能少, 而且注意是反着加的 ("真" 对地 \vec{a}_2 是已知 (设) 的) II. 纯滚转速也要叠加 $\beta_1 \pm \beta_2 = \beta_{相}$

附: 狗函数

$$v = \frac{\sqrt{v_1^2 + v_2^2} \cos \phi}{\sin \phi}$$

而求 a_p 类似, 取其相对 P_1, P_2 环心等系作变换 (建以求导解决 \vec{a})

• 等温作功 $p_0 v_0 / n \frac{V_f}{V_i}$ 不要用太快. V_f, V_i 仍是真正过程物质占体积, 非如左图示的总 V .

△ 考试方法论 (一)

(尤其是力学, 一定要有全貌)

· 考虑题目尽量先构建物理情境, 先粗后细. 全流程共需哪些环节, 有一些是可以合并起来算普遍的, 有些可以一直表出答案再近似: 先用中间量表答案, 再近似得出中间量 —— 拆解运算过程, 合并运算环节. (能先不近似就先不要近似, 36题复三)

· 前后小题要适当联系, 是否可以延拓和代入一些无机量? 没机制具体要求的一些值, 边界条件, 无论是处在什么样的物理过程中, 只要那一刻 (稳态) 就应满足, 可以考虑到拓宽其机制.

· “其一条件”的题目 (如 I_0 与 I_1 , T_0 与绳长) 不推荐: 一口吞, 通常二选时不如逐一分析, 第一个就可以得到条件 (范围). 时间上不拥上下, 逐一条件列时先宏观再微观 (一口吞往往看不出来, 很难解), 有时可以得到更简单的关系 (只涉及而非 $u=0$) (从临界除外, 通常能直接代入).

· 关注题目的“临界性”, 往往解临界情况 (会有许多宏观结论) 会与不等式差上很多, 不等式列好列, 做得出来做不出来不得而知.

· 答案的反身自证, 如利用 0 为小角计算化简得了 0 , 可以看看 $0 \ll 1$ 是否提供了新的化简条件 \Rightarrow 检查条件. 通常出现在前面步骤近似不到位的情况.

· 在一个机制过程里要宏观把握变量 (自由度) 有哪些? 制变 or 随变? 尤其是算微分方程式的时候.

· 表达式冗长首先看看自己是否出差错, 没有则应鼓起勇气试着代入化简, 很可能有办法变通, 尤其是后续小问仍需利用的时候.

· 质疑答案, 发散性 $\sin \dots / \dots$ 时, 可以先关注一下本题情境里能取的定义域.

☆ 做功力学题应先考虑 E, L 等一次积多, 无法解决再寻求半二微元过程.

真心口诀: “先整体, 后微元; 先守恒, 后积多; 先宏观, 后解折”
EL!!

· 书写: 微分方程, 一阶可分离的写出分离式或原式; 一阶非齐次的尽量保证算对或列出 $ce^{-\int P dx} \dots$; 二阶直接积两次的, 每次都写, 定常数 $C_1 = \dots$; 二阶线性的与特征方程, 写其解如 $C_1 e^{\lambda_1 x} + C_2 e^{\lambda_2 x}$, 再与特解. 注意初值条件都要列清.

· 设字母一定要意义清晰, 宁愿繁一点如 $u_{A \rightarrow B}$ 也不要随便乱叫 u_B, v_B, z 什么的.

· 草稿修改过多 (数字涂改 2 次以上) 一定要重抄重画一遍! 并验算. (修正一定要动笔! 不要只在

(分析盘环二体时) 若该质点实际是某物体质心, 存在绕其的转动功能时, 心里

在 m 点上画一个圈提醒, 如 

4 考试方法论 (2)

- 连续性系统平衡条件得到的关系是题目默认应知道的, 如 $T_{CB} \xrightarrow{\text{太急}} P_{CB}$, 不需要专门去说。
- 写半 z (特别是又打算对其积分时) 前思考一下, E 行不行?
- $\cos\theta$, $\sin\theta$ 等与角度、投影、歪斜有关的因子不能因为物体小而忽略 (近似为质点作用)

例如 $r \ll l$  盘等, ($\omega r = \dot{x} \cos\theta$)

- 相对论动力学题 Casio 拍慢一点, 避免出差错。 (字底再抄一遍)
- 避免计算差错: 式子按行抄写计算, 不要随意画 \odot 删去, 除非是一个完整的消代步骤; 字母按规则用, 新设 0 等一定注明 (除非是定性分析一下); 不要一口气算太多 (比如拆分 + 乘法分配/提出, 容易另一个需分配/提出的项忘记分配了); 系数、字母要跟牢, 抓出一部分来化简时打箭头或明确表示; 分配律易差错, 一定写完整, 不跳太快;
- 比较清晰的求极值题目, 脑中模型构建好, 一定要把相关物理量标上下标以显示是其函数, 如 $v_0(\omega)$, 不然求 0 导数易忘掉 v_0 。
- 不要二三维混乱思考! 立体图一定要画一画, 然后可以再画二维投影图。
- 答案出现 $\sqrt{\quad}$, $\sin^{-1}\cos^{-1}$, \ln 记得看看定义域, 可能有讨论!
- 画物体受力分析图时, 要画就一定会把所有力都画上! (重力) 避免又列时漏。

理论力学 (简略)

§1 拉格朗日力学

• 广义坐标, 自由度, 运动方程

• 最小作用量原理, 作用量 $S = \int_{t_1}^{t_2} L(q, \dot{q}, t) dt$

拉格朗日方程 $\frac{d}{dt} \frac{\partial L}{\partial \dot{q}} - \frac{\partial L}{\partial q} = 0$

• 拉格朗日函数 可加性, 乘以任意常数, 相差一个 $f(q, t)$ 的时间全导, 时间可逆性.

伽利略相对性原理 $\rightarrow L(v^2) = L(v^2) + 2 \frac{\partial L}{\partial v^2} \vec{v} \cdot \vec{E}$

可加性, 质点系相互作用描述 $\rightarrow L = \sum \frac{m_a v_a^2}{2} - U(\vec{r}_1, \vec{r}_2, \dots)$ $\rightarrow L \propto v^2, L = \frac{m}{2} v^2$

牛顿方程, 力 $m_a \frac{d\vec{v}_a}{dt} = -\frac{\partial U}{\partial \vec{r}_a}$

非笛卡尔坐标

$L = \frac{1}{2} \sum_{ik} g_{ik}(q) \dot{q}_i \dot{q}_k - U(q)$

非封闭系统 $L = T_A(q_A, \dot{q}_A) - U(q_A, q_B(t))$

• 运动积分, 守恒定律

s 个自由度, 去除一个时间平移 (即轨道参量), 剩 $2s-1$ 个 C.

可加的运动积分:

能量 $E = \sum \dot{q}_i \frac{\partial L}{\partial \dot{q}_i} - L$ 动量 $\vec{P} = \sum \frac{\partial L}{\partial \vec{v}_a}$ 角动量 $\vec{M} = \sum \vec{r}_a \times \vec{p}_a$

广义动量 $p_i = \frac{\partial L}{\partial \dot{q}_i}$

广义力 $F_i = \frac{\partial L}{\partial q_i}$

\Rightarrow 时空的均匀性和各向同性产生的恒定量.

螺旋线场: 在 z 轴旋转且沿 z 轴平移 $\frac{h}{2\pi} \delta\varphi$ 对称.
 $\delta L = 0 = \frac{\partial L}{\partial z} \cdot \frac{h}{2\pi} \delta\varphi + \frac{\partial L}{\partial \varphi} \cdot \delta\varphi \cdot (\frac{p_\varphi}{h} + M_z) \delta\varphi = 0$
 即 $p_\varphi \cdot \frac{h}{2\pi} + M_z = \text{const}$

开普勒问题: 3个自由度, 5个运动积分, 能量 (1), 角动量 (3), 拉普拉斯矢量 (1).
 (动量守恒) 恒不可解 (C)

• 力学相似性

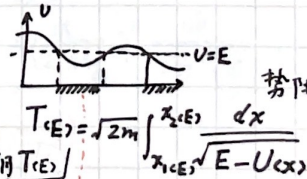
$r \rightarrow \alpha r, t \rightarrow \beta t$

$\frac{d^2}{dt^2} = \alpha^k, \beta = \alpha^{-\frac{k}{2}}$

位力定理 $2\bar{T} = k\bar{U}$

§2 运动方程的积分

• 一维运动 直接由第一积分给出运动, $\dot{x} = \sqrt{\frac{2}{m}[E - U(x)]}$



$T(E) = \sqrt{2m} \int_{x_1(E)}^{x_2(E)} \frac{dx}{\sqrt{E - U(x)}}$
 由运动周期 $T(E)$ 反解禁带 U
 其中 $\int_{x_1}^{x_2} \frac{dx}{\sqrt{E - U(x)}} = \pi$, $x_2(U) - x_1(U) = \frac{\pi \sqrt{2m}}{T(E)}$
 若 $U(x)$ 对称, 则 $x_1 = -x_2$

• 二体问题 $L = \frac{1}{2} \frac{m_1 m_2}{m_1 + m_2} \dot{\vec{r}}^2 - U(r)$

有心力场的运动

$E = \frac{1}{2} m \dot{r}^2 + \frac{M^2}{2mr^2} + U(r) \rightarrow \varphi = \int \frac{M dr}{\sqrt{2m[E - U(r)] - \frac{M^2}{r^2}}} + \text{const}$
 $M = m r^2 \dot{\varphi}$
 $U_{\text{eff}}(r)$

能够落向场中心: $r^2 U_{\text{eff}}|_{r \rightarrow 0} < -\frac{M^2}{2m}$ 即 $-\frac{\alpha}{r^2} (\alpha > \frac{M^2}{2m})$ 或 $-\frac{1}{r^n} (n > 2)$ 的形式.

发散的积分, 可写为 $\int \frac{dr}{\sqrt{2m(E - U) - \frac{M^2}{r^2}}}$
 $U \propto r^{-2}$ 或 r^{-n} 时 $\Delta\varphi$ 为 2π 整倍, 轨道闭合.

○ 开普勒问题 令 $U = -\frac{\alpha}{r}$. 积分 $\frac{p}{r} = 1 + e \cos \varphi$ (取 const = 0)

其中 $p = \frac{M^2}{m\alpha}$, $e = \sqrt{1 + \frac{2EM^2}{m\alpha^2}}$, $T = \frac{\pi a b}{\frac{M}{2m}} = \pi a \sqrt{\frac{m}{2|E|^3}}$
 $a = \frac{p}{1-e^2} = \frac{\alpha}{2|E|}$, $b = \frac{p}{\sqrt{1-e^2}} = \frac{M}{\sqrt{2m|E|}}$

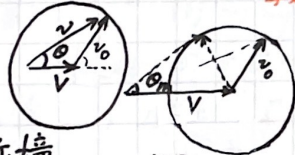
对时间的依赖关系 \rightarrow 参数形式

龙格-楞次矢量 $\rightarrow \vec{v} \times \vec{M} + \frac{d\vec{r}}{dt} = \text{const.}$ $\int r - a = -ae \cos \xi$. 积出 $t = \sqrt{\frac{m}{2|E|}} \int \frac{r dr}{\sqrt{r^2 - \frac{\alpha}{|E|}r - \frac{M^2}{2m|E|}}} = \sqrt{\frac{ma}{\alpha}} \int \frac{r dr}{\sqrt{a^2 e^2 - (r-a)^2}}$

求导可证利用 $m\dot{v} = \frac{d\vec{r}}{dt}$. 源自动力 $r = a(1 - e \cos \xi)$, $t = \sqrt{\frac{ma^3}{\alpha}} (\xi - e \sin \xi)$.
 学对称性.

§3 质点碰撞

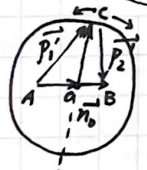
○ 质点分裂



质心系中动能存在上限

$$T_{1, \max} = \frac{M - m_1}{M} \epsilon$$

○ 质点弹性碰撞



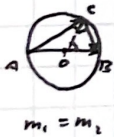
\vec{n}_0 : 碰撞后质心系中所沿方向.

$$\vec{OC} = m\vec{v}$$

$$\vec{AO} = \frac{m_1}{m_1 + m_2} (\vec{p}_1 + \vec{p}_2), \quad \vec{OB} = \frac{m_2}{m_1 + m_2} (\vec{p}_1 + \vec{p}_2)$$

\vec{AC}, \vec{CB} 即为碰撞后 \vec{p}_1', \vec{p}_2' .

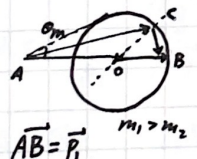
当 2 开始静止时: $\frac{m_2}{m_1 + m_2} p_1 = m v$. B 在圆上.



$m_1 = m_2$



$m_1 < m_2$



$m_1 > m_2$

$$\frac{AO}{OB} = \frac{m_1}{m_2}$$

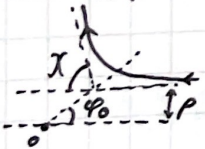
$$\tan \theta_1 = \frac{m_2 \sin \chi}{m_1 + m_2 \cos \chi}$$

$$\theta_2 = \frac{\pi - \chi}{2}$$

$$v_1' = \frac{\sqrt{m_1^2 + m_2^2 + 2m_1 m_2 \cos \chi}}{m_1 + m_2} v$$

$$v_2' = \frac{2m_1}{m_1 + m_2} v \sin \frac{\chi}{2}$$

○ 质点散射



$$\chi = |\pi - 2\varphi_0|$$

$$\varphi_0 = \int_{r_{\min}}^{\infty} \frac{\rho}{r^2} dr = \int_{r_{\min}}^{\infty} \frac{\rho}{r^2 \sqrt{1 - \frac{\rho^2}{r^2} - \frac{2U}{m v_{\infty}^2}}} dr$$

$\Rightarrow \chi(\rho)$

\Rightarrow 有效散射截面 $d\sigma = 2\pi \rho d\rho = 2\pi \rho(\chi) \left| \frac{d\rho(\chi)}{d\chi} \right| d\chi$

$$= \frac{\rho(\chi)}{\sin \chi} \left| \frac{d\rho}{d\chi} \right| d\sigma$$

还可写 $d\sigma_1, d\sigma_2$ 形式.

卢瑟福公式 令 $U = \frac{\alpha}{r}$. 积分.

$$d\sigma = \left(\frac{\alpha}{2m v_{\infty}^2} \right)^2 \frac{d\sigma}{\sin^4(\frac{\chi}{2})}$$

小角度散射

对 U 展开并用 p 代替 r_{\min} .

$$\chi = \pi - 2\varphi_0 = \pi - 2 \left(\int_{\rho}^{\infty} \frac{\rho dr}{r^2 \sqrt{1 - \frac{\rho^2}{r^2} - \frac{2U}{m v_{\infty}^2}}} + \frac{\pi}{2} \right) = \frac{2\alpha}{m v_{\infty}^2} \int_{\rho}^{\infty} \frac{dr}{r^2 \sqrt{1 - \frac{\rho^2}{r^2} - \frac{2U}{m v_{\infty}^2}}}$$

电动力学 (不全)

一、电磁现象的基本规律

1.1 数学预备

张量 (= 二阶张量) $\vec{T} = T_{ij} \vec{e}_i \vec{e}_j$ 并矢 $T_{ij} = f_i g_j$ 或 $\vec{T} = \vec{f} \vec{g}$.

矩阵形 = $\vec{e}_i T \vec{e}_j^T$

乘法运算 点乘 i) 矢·矢 $\vec{f} \cdot \vec{g} = f_i g_i$. $\vec{f} \cdot \vec{g} = \vec{g} \cdot \vec{f}$

符号:

δ_{ij} . ϵ_{ijk} (交错符号)

$\epsilon_{ijk} \epsilon_{lmn} = \delta_{jm} \delta_{kn} - \delta_{jn} \delta_{km}$.

ii) 矢·张 $\vec{f} \cdot \vec{T} = f_i T_{ij}$. $\vec{f} \cdot \vec{T} \neq \vec{T} \cdot \vec{f}$
 $\vec{T} \cdot \vec{f} = T_{ij} f_j$ (\vec{T} 对称时除外)

iii) 张·张 $\vec{S} \cdot \vec{T} = S_{ik} T_{kj}$. $\vec{S} \cdot \vec{T} \neq \vec{T} \cdot \vec{S}$

($\vec{f} \vec{g}$) · ($\vec{p} \vec{q}$) = ($\vec{g} \cdot \vec{p}$) $\vec{f} \vec{q}$ (\vec{T} 为单位张量除外 = δ)

iv) 双点乘 张:张 → 标 $\vec{S} : \vec{T} = \vec{T} : \vec{S} = S_{ij} T_{ji}$

叉乘

i) 矢×矢 → 矢 $\vec{f} \times \vec{g} = \epsilon_{ijk} f_j g_k$. $\vec{f} \times \vec{g} = -\vec{g} \times \vec{f}$

ii) 矢×张 → 张 $\vec{f} \times \vec{T} = \epsilon_{imn} f_m T_{nj}$. $\vec{T} \times \vec{f} = \epsilon_{jmn} T_{im} f_n$

可视为 \vec{f} (依次与 \vec{T} 各列叉出, 再按列排成)

$\vec{f} \times (\vec{g} \vec{h}) = (\vec{f} \times \vec{g}) \vec{h}$ (\vec{T} 为单位张量除外)

$(\vec{g} \vec{h}) \times \vec{f} = \vec{g} (\vec{h} \times \vec{f})$

对于并矢: 就近法则.

(矩阵乘法的结合律)

矢量微分算符 $\nabla = \vec{e}_i \frac{\partial}{\partial x_i}$ (\vec{e}_i 从左边作用过去)

证明公式 { 下标法 $ijk \dots$
符号法 $\nabla_0, \nabla_6 \dots$

如 $\nabla \vec{f} = \frac{\partial f_j}{\partial x_i} \vec{e}_i \vec{e}_j$. $\nabla \cdot \vec{T} = \frac{\partial T_{ij}}{\partial x_i} \vec{e}_j$

$\nabla \times \vec{f} = \epsilon_{ijk} \frac{\partial f_k}{\partial x_j} \vec{e}_i$

对矢径有 $\nabla r = \vec{e}_r$. $\nabla F = \vec{T}$. $\nabla \cdot \vec{F} = \text{div}$. $\nabla \times [f(r) \vec{F}] = 0$.

常用举例: $\nabla \cdot (\vec{f} \vec{g} \vec{h}) = (\nabla \cdot \vec{f}) \vec{g} \vec{h} + (\vec{f} \cdot \nabla \vec{g}) \vec{h} + \vec{g} (\vec{f} \cdot \nabla \vec{h})$

$\nabla (\vec{T} : \nabla \vec{E}) = \vec{T} : \nabla \nabla \vec{E}$ 其中 \vec{E} 无旋.

正交曲线坐标系

拉梅系数 $ds_i = h_i du_i$. $dV = h_1 h_2 h_3 du_1 du_2 du_3$.

(ρ, φ, z)
柱 r, φ, z

球 r, θ, φ

$\nabla \varphi = \frac{1}{h_i} \frac{\partial \varphi}{\partial u_i} \vec{e}_i$. $\nabla \cdot \vec{f} = \frac{1}{h_1 h_2 h_3} \left[\frac{\partial}{\partial u_i} (h_j h_k f_i) \right]$. $\nabla \times \vec{f} = \frac{1}{h_i h_j} \left[\frac{\partial}{\partial u_i} (h_j f_j) - \frac{\partial}{\partial u_j} (h_i f_i) \right] \vec{e}_k$

这里只对 \vec{f} 进行微分, 故 ∇ 可以直接转换.

积分公式

$\oint_S d\vec{\sigma} = \iiint_V dV \nabla$. $\oint_C d\vec{l} = \iint_S d\vec{\sigma} \times \nabla$

注意作用的方向和形式, 证明可采用“常量点乘法” (任意性)

格林公式

$\oint_C \psi \nabla \varphi \cdot d\vec{\sigma} = \iiint_V (\psi \nabla^2 \varphi + \nabla \psi \cdot \nabla \varphi) dV$. $\oint_C (\psi \nabla \varphi - \varphi \nabla \psi) \cdot d\vec{\sigma} = \iiint_V (\psi \nabla^2 \varphi - \varphi \nabla^2 \psi) dV$

$\oint_C \varphi \nabla \varphi \cdot d\vec{\sigma} = \iiint_V (\varphi \nabla^2 \varphi + (\nabla \varphi)^2) dV$

亥姆霍兹唯一场定理 给定单连通解域V内矢量场的梯度和旋度, 以及边界S上的法向分量, 则该场被唯一确定.

证明: 反证法+格林(三). $\vec{a} = \vec{A}_2 - \vec{A}_1, \nabla \cdot \vec{a} = 0, \nabla \times \vec{a} = 0, a_{n|_S} = 0.$

• δ函数 $\delta(\vec{r} - \vec{r}_0) = \begin{cases} \infty & \vec{r} = \vec{r}_0 \text{ 那么 } \vec{a} \text{ 可表为 } \nabla \varphi \Rightarrow \iiint (\nabla \varphi) \cdot d\vec{v} = \iiint \vec{a} \cdot d\vec{v} = \oint_S a_n \cdot \varphi d\sigma = 0, \vec{a} \text{ 处处为 } \vec{0}. \\ 0 & \vec{r} \neq \vec{r}_0 \text{ 且 } \iiint \delta(\vec{r} - \vec{r}_0) dV = 1. \end{cases}$

常用表达式: $\delta(\vec{r} - \vec{r}_0) = -\frac{1}{4\pi} \nabla^2 \frac{1}{|\vec{r} - \vec{r}_0|}$
 对 $\vec{r} \neq \vec{r}_0$ 处, 将 ∇^2 算出得证=0.
 对 $\vec{r} = \vec{r}_0$, 级数失去定义, 取体积分=1, 对应δ.

1.2 描述电磁场

• 来源于实验: $F = \frac{kq_1q_2}{r^2}, F = qv \times B, dB = \frac{\mu_0}{4\pi} \frac{Idl \times r}{r^3}, \epsilon = -\frac{d\phi}{dt}.$

• 麦克斯韦方程组

$$\left. \begin{aligned} \nabla \times \vec{E} &= -\frac{\partial \vec{B}}{\partial t} \\ \nabla \cdot \vec{E} &= \frac{\rho}{\epsilon_0} \\ \nabla \times \vec{B} &= \mu_0 \vec{j} + \epsilon_0 \mu_0 \frac{\partial \vec{E}}{\partial t} \\ \nabla \cdot \vec{B} &= 0 \end{aligned} \right\} \begin{array}{l} \text{引入辅助量} \\ \vec{D} = \epsilon_0 \vec{E} + \vec{P} \\ \vec{H} = \frac{1}{\mu_0} \vec{B} - \vec{M} \end{array} \left. \begin{aligned} \nabla \times \vec{E} &= -\frac{\partial \vec{B}}{\partial t} \\ \nabla \times \vec{H} &= \vec{j}_0 + \frac{\partial \vec{D}}{\partial t} \\ \nabla \cdot \vec{D} &= \rho_0 \\ \nabla \cdot \vec{B} &= 0 \end{aligned} \right.$$

但麦方程组建立在电荷守恒的假设上, 还是守恒是“先”.
 并不独立, 可由方程组中=三式消得.
 其常替代掉组中=式.

电荷守恒方程 $\frac{\partial \rho}{\partial t} + \nabla \cdot \vec{j} = 0$ (约束场源, 其中 $\rho' = -\nabla \cdot \vec{P}, \vec{j}' = \nabla \times \vec{M} + \frac{\partial \vec{P}}{\partial t}$)

洛伦兹力公式 $\vec{f} = \rho \vec{E} + \vec{j} \times \vec{B}$ (联系场与场源运动)

电磁性能方程 $\vec{D} = D(\vec{E}, \vec{B}), \vec{H} = H(\vec{E}, \vec{B})$ (介质的具体性质, 来描述场源与外场的关系)

由麦方程组积分形式得来.
 换句话说, 积分形式比微分形式更普遍.

导体 $\vec{j}_0 = \sigma \vec{E}$

边值关系

$$\left. \begin{aligned} \vec{n} \times (\vec{E}_2 - \vec{E}_1) &= 0 \\ \vec{n} \times (\vec{H}_2 - \vec{H}_1) &= \vec{i}_0 \\ \vec{n} \cdot (\vec{D}_2 - \vec{D}_1) &= \sigma_0 \\ \vec{n} \cdot (\vec{B}_2 - \vec{B}_1) &= 0 \\ \vec{n} \cdot (\vec{j}_2 - \vec{j}_1) &= -\frac{\partial \sigma_0}{\partial t} \end{aligned} \right\} \begin{array}{l} \vec{n} \cdot (\vec{P}_2 - \vec{P}_1) = -\sigma' \\ \vec{n} \times (\vec{M}_2 - \vec{M}_1) = \vec{i}' \end{array}$$

齐次用不求解, 非齐次事后用来求得界面信息.

1.3 电磁场的物质属性

• 能量 功率密度 $p = \vec{j} \cdot \vec{E} = \frac{1}{\mu_0} (\nabla \times \vec{B}) \cdot \vec{E} - \epsilon_0 \frac{\partial \vec{E}}{\partial t} \cdot \vec{E}$

$$\begin{aligned} &= \frac{1}{\mu_0} \nabla \cdot (\vec{B} \times \vec{E}) + \frac{1}{\mu_0} (\nabla \times \vec{E}) \cdot \vec{B} - \epsilon_0 \frac{\partial \vec{E}}{\partial t} \cdot \vec{E} \\ &= -\frac{1}{\mu_0} \nabla \cdot (\vec{E} \times \vec{B}) - \frac{\partial}{\partial t} \left(\frac{\epsilon_0 E^2}{2} + \frac{B^2}{2\mu_0} \right) \end{aligned}$$

$$\Rightarrow \vec{j} \cdot \vec{E} = -\frac{\partial w}{\partial t} - \nabla \cdot \vec{S}$$

$w = \frac{1}{2} \epsilon_0 E^2 + \frac{1}{2} \frac{1}{\mu_0} B^2$ 电磁能量密度

$\vec{S} = \frac{1}{\mu_0} \vec{E} \times \vec{B}$ 电磁能流密度 (坡印亭矢量)

S: 能量转移的表征. 实例:

实际上, S加上任意旋度都没有影响.

为了确保所有惯参协变, 和实验对其意义的验证,

能流密度被唯一的确定为 $\frac{1}{\mu_0} \vec{E} \times \vec{B}$.



◦ 动量 $\vec{f} = (\nabla \cdot \vec{E}) \vec{E} \cdot \epsilon_0 + [\frac{1}{\mu_0} (\nabla \times \vec{B}) - \epsilon_0 \frac{\partial \vec{E}}{\partial t}] \times \vec{B}$
 $= \epsilon_0 \cdot [\nabla \cdot (\vec{E} \vec{E} - \frac{1}{2} E^2 \vec{I}) + \frac{\partial \vec{B}}{\partial t} \times \vec{E}] + \frac{1}{\mu_0} \nabla \cdot (\vec{B} \vec{B} - \frac{1}{2} B^2 \vec{I}) - \epsilon_0 \frac{\partial \vec{E}}{\partial t} \times \vec{B}$
 $\Rightarrow \vec{f} = -\frac{\partial \vec{g}}{\partial t} - \nabla \cdot \vec{T}$ $\vec{g} = \epsilon_0 \vec{E} \times \vec{B} = \frac{1}{c^2} \vec{S}$ 电磁动量密度
 $\vec{T} = w \vec{I} - \epsilon_0 \vec{E} \vec{E} - \frac{1}{\mu_0} \vec{B} \vec{B}$ 电磁动量流密度
 $\frac{d\vec{G}_m}{dt} + \frac{d}{dt} \int \vec{g} dV = -\oint \vec{f} \cdot d\vec{\sigma}$ (麦克斯韦应力张量 $\mathcal{T} = -\vec{T}$, 有 $\int \vec{f} dV = \oint \mathcal{T} \cdot d\vec{\sigma}$)

◦ 角动量 矢径叉乘上式.

$$\vec{r} \times (\nabla \cdot \vec{T}) = -\nabla \cdot (\vec{T} \times \vec{r})$$

其中用到 \vec{T} 是对称的并矢的线性组合.

$$\vec{r} \times \vec{f} = -\frac{\partial \vec{l}}{\partial t} - \nabla \cdot \vec{R}$$
 $\vec{l} = \vec{r} \times \vec{g}$ $\vec{R} = -\vec{T} \times \vec{r}$

宏观电磁力 + 介质不均匀的 + 内应力 + 场致伸缩力
 举例: Q, R 球壳均匀带电. 求上下半球间斥力? (用一般投影法可得) 外部明显无应力, 可取上半球面 σ , 只剩中央盘面了积分.
 $\vec{T} = \frac{\epsilon_0}{2} \begin{pmatrix} E^2 & 0 & 0 \\ 0 & E^2 & 0 \\ 0 & 0 & -E^2 \end{pmatrix}$ (坐标轴沿 E 方向)
 $d\vec{\sigma} (-z \text{ 向}) \int_R^{\infty} 2\pi r dr \frac{\epsilon_0}{2} \frac{Q^2}{(4\pi \epsilon_0 r^2)^2}$
 $= \frac{Q^2}{32\pi \epsilon_0 R^2}$

◦ 介质情况下 套用 DH 版麦方程组推得

$$p_0 = -\vec{E} \cdot \frac{\partial \vec{D}}{\partial t} - \vec{H} \cdot \frac{\partial \vec{B}}{\partial t} - \nabla \cdot (\vec{E} \times \vec{H})$$

$$\vec{f}_0 = -\frac{\partial (\vec{D} \times \vec{B})}{\partial t} + \nabla \cdot (\vec{D} \vec{E} + \vec{B} \vec{H}) - (\nabla \vec{E}) \cdot \vec{D} - (\nabla \vec{H}) \cdot \vec{B}$$

寻找关系, 使之能对易, 凑出去.

能量 → 线性

$$w_0 = \frac{1}{2} (\vec{D} \cdot \vec{E} + \vec{B} \cdot \vec{H})$$

$$\vec{S}_0 = \vec{E} \times \vec{H}$$

动量 → 线性均匀

$$\vec{l}_0 = w_0 \vec{I} - \vec{D} \vec{E} - \vec{B} \vec{H}$$

$$\vec{R}_0 = \vec{D} \times \vec{B}$$

角动量 → 线性均匀各向同性

$$\vec{l}_0 = \vec{r} \times \vec{g}_0$$

$$\vec{R}_0 = -\vec{l}_0 \times \vec{r}$$